



گزارش پروژه پردازش تصاویر پزشکی

موضوع: تخمین و حذف نویز از تصاویر ام آر ای با استفاده از PCA

غیرمحلی^۱

نویسنده: رضا کریمزاده

شماره دانشجویی: 98206234

استاد درس: دکتر فاطمی زاده

تابستان 99

¹ MRI noise estimation and denoising using non local PCA

فهرست

1	مقدمه و معرفی مقاله	4
1.1	کلیت مطالعه	4
2.1	متدها	4
1.2.1	حذف نویز با استفاده از PCA غیر محلی	4
2.2.1	فیلتر میانگین گیر غیر محلی تغییر ناپذیر با دوران	7
3.2.1	تخمین نویز بر اساس PCA	8
4.2.1	تخمین نویز Rician	10
5.2.1	تطابق با نویز Rician	11
3.1	خلاصه الگوریتم مورد استفاده	12
1.3.1	متد NL_PCA	12
2.3.1	متد PRI_NL_PCA	13
4.1	دادگان مورد استفاده	13
2	پیاده سازی متدهای مقاله	14
1.2	پیاده سازی فیلتر میانه گیر	14
2.2	پیاده سازی فیلتر مبتنی بر PCA	16
3	نتایج و مقایسه با مقاله اصلی	24
1.3	معیارهای اعتبار سنجی	24
1.1.3	پیک نسبت سیگنال به نویز (PSNR)	24
2.1.3	معیار SSIM	24
3.1.3	اعتبار سنجی تخمین نویز	25
2.3	اضافه کردن نویز و فیلتر کردن تصویر نویزی	25
1.2.3	نویز گوسی ثابت	28
2.2.3	نویز گوسی متغیر با مکان	32
3.2.3	نویز ثابت Rician	36
4.2.3	نویز Rician متغیر با مکان	40
4	مراجع	45

فهرست اشکال

شکل 1-1	پچ بندی و آستانه گذاری بر روی PCA پچ های مشابه	5
شکل 2-1	نمودار مقادیر ویژه	9
شکل 3-1	آزمایشات انجام شده برای تخمین منحنی ضریب اصلاح	11
شکل 1-2	بردارهای ویژه ی متناظر با مقادیر ویژه	17

شکل 2-2 تصویر حذف نویز شده.....18

1 مقدمه و معرفی مقاله

1-1 کلیت مطالعه

در این مطالعه از یک روش نوین برای حذف نویز از تصاویر MRI ارایه گردیده است که بر اساس sparsity و تشابه میان تصاویر MRI عمل می‌کند. کلیت کار از دو مرحله تشکیل گردیده است. اول با تخمین نویز محلی و آستانه گذاری در PCA غیرمحلی تصویر حذف نویز می‌شود. در مرحله دوم تصویر فیلتر شده‌ی مرحله‌ی قبل به یک فیلتر تغییرناپذیر با دوران میانگین‌گیر غیرمحلی داده می‌شود تا تصویر حذف نویز شده‌ی نهایی بدست آید.

بنابراین با توجه به این که متد ارایه شده نویز را به صورت محلی تخمین می‌زند می‌توان آنرا به تصاویری که میزان نویز آنها در جاهای مختلف تصویر متفاوت است، اعمال نمود [1].

2-1 متدها

در این بخش به معرفی متدهای مورد استفاده در این پروژه پرداخته می‌شود.

1-2-1 حذف نویز با استفاده از PCA غیر محلی

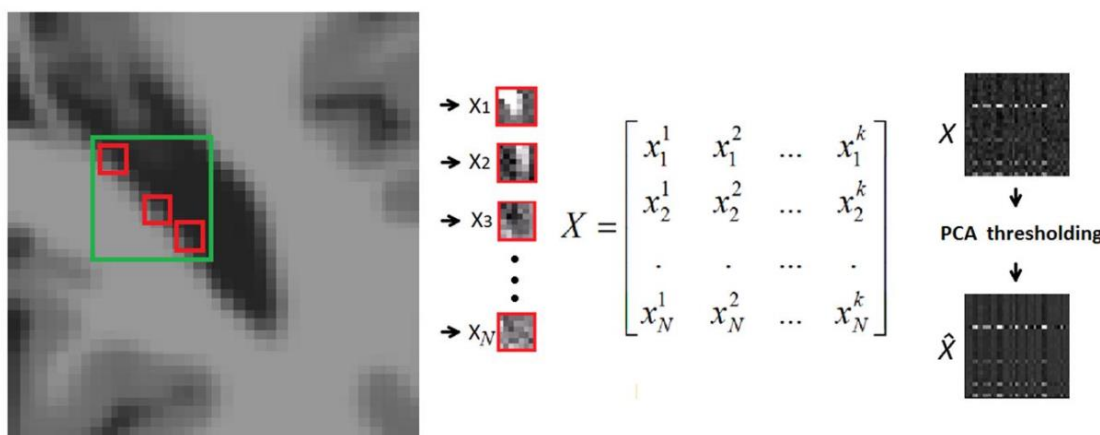
برای حذف نویز با استفاده از رویکرد PCA ابتدا لازم است پچ‌هایی که بیشترین شباهت را دارند در یک گروه قرار گیرند. این کار باعث تنگی بیشتر در نمایش این دسته پچ مشابه و در نتیجه تخمین بهتر نویز می‌شود. در این مطالعه پچ‌ها به صورت محلی در نظر گرفته شده و در نتیجه امکان تخمین نویز به صورت محلی ایجاد می‌شود. تعریف معمول تصویر نویزی به صورت یک تصویر تمیز که با یک نویز جمع شده است نشان داده می‌شود.

$$Y = A + N$$

که در آن Y تصویر نویزی، A تصویر بدون نویز و N نویز جمع شونده است. اکثر روش‌های حذف نویز به دنبال پیدا کردن A با دانستن Y هستند.

در متد ارایه شده در این مطالعه یک پنجره‌ی لغزان سه بعدی بر روی تصویر ام آر ای سه بعدی لغزنده می‌شود و با گروه کردن پچ‌های مشابه اطراف پچ اصلی یک ماتریس ساخته می‌شود. برای محدوده‌ی جستجو $(2t + 1)^3$ پیکسل اطراف پیکسل مورد نظر استفاده می‌شود به این ترتیب با برداری کردن پچ‌های مشابه با پچ اصلی یک ماتریس $N \times K$ بوجود می‌آید که در آن N تعداد پچ‌های مشابه با پچ اصلی و K تعداد واکسل‌های هر پچ است. در این مطالعه $N=K$ در نظر گرفته می‌شود بنابراین یک ماتریس $N \times N$ برای تبدیل PCA در دست است.

برای هر گروه از پچ‌ها این ماتریس ساخته می‌شود و بر روی آن PCA زده می‌شود. سپس المان‌های کم اهمیت، در واقع بردار ویژه‌های کوچک، با یک آستانه گذاری به این صورت که هر المان اگر از آستانه‌ی T کوچکتر بود حذف می‌شود. در ادامه تبدیل وارون PCA بر روی ماتریس آستانه گذاری شده محاسبه می‌شود و در نهایت چون پچ‌های انتخاب شده در پنجره‌های متفاوت وجود دارند باید یک ترکیب از نتایج مختلف در محل اصلی پچ جایگزین شود. برای این کار از میانگین گیری بین پچ‌ها استفاده می‌شود. شکل زیر این عملیات را نمایش می‌دهد.



شکل 1-1 پچ بندی و آستانه گذاری بر روی PCA پچ‌های مشابه

نکته‌ی قابل توجه در انتخاب گروه پچ‌ها، انتخاب پچ‌های مشابه است. هرچه این پچ‌ها مشابه‌تر باشند نتیجه‌ی حذف نویز به خاطر تنگی در PCA پچ‌های مشابه بهتر خواهد بود. بنابراین استفاده از یک فیلتر پیش پردازش برای حذف نویز اولیه و انتخاب پچ‌های مشابه پیشنهاد می‌شود. فیلتر پیش پردازشی استفاده شده در این مطالعه، فیلتر میانه‌گیر سه بعدی است، به خصوص در مواقعی که نویز شدیدی وجود داشته باشد عملیات پچ‌بندی با استفاده از خروجی این فیلتر نتایج بهتری می‌دهد.

بنابراین بدون دانستن میزان نویز اولین پردازش میلنه گیری از تصویر است برای دادن به الگوریتم پیچ بندی، پیچ ها مشابه.

برای روشن تر شدن مفهوم و فرمول بندی PCA از یک مرجع دیگر [2] استفاده گردید. که در ادامه به توضیح نحوه ی عملکرد PCA پرداخته می شود. ماتریس x را به صورت زیر تعریف می کنیم.

$$x = [x_1 \ x_2 \ \dots \ x_m]^T$$

که در واقع هر درایه ی آن از یک بردار ساخته شده است.

$$\mathbf{X} = \begin{bmatrix} x_1^1 & x_1^2 & \dots & x_1^n \\ x_2^1 & x_2^2 & \dots & x_2^n \\ \vdots & \vdots & \vdots & \vdots \\ x_m^1 & x_m^2 & \dots & x_m^n \end{bmatrix}$$

ردیف i ام ماتریس فوق را به صورت زیر تعریف می کنیم.

$$X_i = [x_i^1 \ x_i^2 \ \dots \ x_i^n]$$

حال برای هر کدام از این ردیف ها میانگین متناظر محاسبه می شود.

$$\mu_i = \frac{1}{n} \sum_{j=1}^n X_i(j)$$

در گام بعد با توجه به این میانگین ها سطر ماتریس x به مرکز منتقل می شود.

$$\bar{X}_i = X_i - \mu_i = [\bar{x}_i^1 \ \bar{x}_i^2 \ \dots \ \bar{x}_i^n]$$

این کار برای تمام ماتریس انجام می شود و در نهایت یک ماتریس مرکزی شده خواهیم داشت.

$$\bar{\mathbf{X}} = [\bar{X}_1^T \ \bar{X}_2^T \ \dots \ \bar{X}_m^T]^T$$

در گام بعد کوواریانس این ماتریس مرکزی شده به صورت زیر محاسبه می شود.

$$\mathbf{\Omega} = \frac{1}{n} \bar{\mathbf{X}} \bar{\mathbf{X}}^T$$

هدف الگوریتم PCA یافتن یک تبدیل عمودی P برای ناهمبسته سازی X است به بیان دیگر رابطه‌ی زیر بین P و X موجود است.

$$\bar{Y} = P\bar{X}$$

بنابراین ماتریس کوواریانس P یک ماتریس قطری است. ماتریس کوواریانس Ω نیز متقارن است و می‌توان آن را به صورت زیر نوشت.

$$\Omega = \Phi \Lambda \Phi^T$$

که در آن ماتریس قطری مقادیر ویژه به صورت زیر است.

$$\Lambda = \text{diag}\{\lambda_1, \lambda_2, \dots, \lambda_m\}$$

بنابراین ماتریس P به صورت زیر بدست می‌آید.

$$P = \Phi^T$$

در نهایت با آستانه گذاری بر روی بردارهای ویژه و تبدیل وارون PCA می‌توان به داده‌ی بدون نویز رسید.

$$x' = PX + \mu$$

بنابراین در این بخش با عملکرد PCA و چگونگی حذف نویز از طریق آستانه گذاری بر روی بردارهای ویژه‌ی آن آشنا شدیم.

2.2-1 فیلتر میانگین‌گیر غیرمحلی تغییر ناپذیر با دوران

برای فیلتر میانگین‌گیر غیر محلی عادی میزان تشابه میان دو پیک i و j سنجیده می‌شد و بر اساس این میزان تشابه برای میانگین‌گیری بین آن‌ها یک میانگین وزن دار گرفته می‌شد.

$$\hat{x}(i) = \frac{\sum_{j \in \Omega} w(i, j) y(j)}{\sum_{j \in \Omega} w(i, j)} \quad w(i, j) = e^{-\frac{\|N_i - N_j\|_2^2}{h^2}}$$

که در Ω حوزه‌ی تصویر که برای جستجوی پچ‌های مشابه در نظر گرفته شده، w معیار ارزیابی تشابه میان دو پچ و h یک پارامتر برای تنظیم قدرت فیلتر است.

همانطور که در فرمول بالا مشاهده می‌شود در صورتی که دو پچ کاملاً مشابه باشند ولی دوران نسبت به یکدیگر داشته باشند وزن کمی در میانگین‌گیری می‌گیرند بنابراین برای حل این مشکل می‌توان دوران پچ‌ها را نسبت به یکدیگر بدست آورد و در نهایت با صفر کردن دوران میزان تشابه را سنجید. اما این روش یک مشکل اساسی دارد که بسیار این عملیات زمانگیر و هزینه‌ی محاسباتی بالایی دارد.

در این مطالعه یک روش بسیار ساده‌تر برای تغییر ناپذیر پچ‌ها نسبت به دوران ارایه گردیده است که در آن از شدت و میانگین واکسل‌ها استفاده می‌کند.

$$w(i, j) = e^{-\frac{1}{2} \left(\frac{(y(i) - y(j))^2 + 3(\mu_{N_i} - \mu_{N_j})^2}{2h^2} \right)}$$

که در آن μ_{N_i} و μ_{N_j} میانگین پچ‌های حول واکسل‌های i و j است. در رابطه‌ی بالا گذاشتن ضریب 3 برای میانگین پچ‌ها نشان دهنده‌ی دادن اهمیت بیشتر به میانگین پچ‌هاست و تجربه‌ی نویسنده‌ی مقاله نشان داده که عدد 3 بهترین عملکرد را دارد [3].

بنابراین این متد که ابتدا با PCA حذف نویز اولیه صورت گیرد و تصویر خروجی به فیلتر میانگین‌گیر غیر محلی تغییرناپذیر با دوران داده شود را $PRI-NL-PCA$ نامگذاری می‌کنیم.

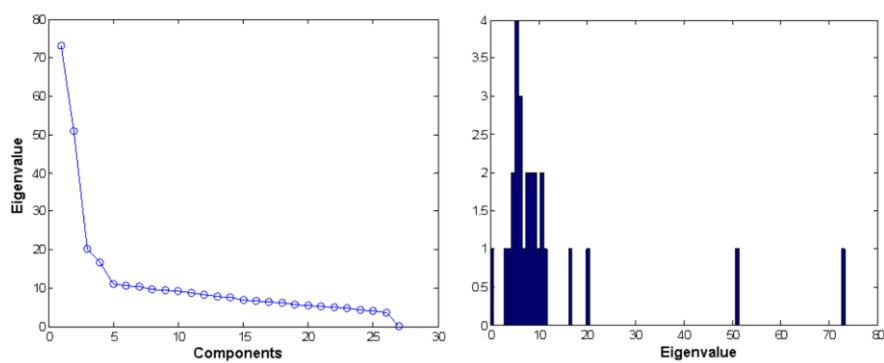
3-2-1 تخمین نویز بر اساس PCA

در حذف نویز با استفاده از الگوریتم PCA غیر محلی مهم‌ترین نکته پیدا کردن آستانه‌ی مناسب برای حذف نویز است. این آستانه با انحراف معیار نویز در آن ناحیه‌ی نسبت مستقیم دارد. بنابراین تخمین نویز اساسی ترین قسمت این الگوریتم است و باید بسیار دقیق تعیین شود.

با توجه به این که در سیستم ام آر آی تصویر برداری به نحوی انجام می‌شود که در سراسر تصویر یک نویز همگن نداریم بنابراین استفاده از روش‌های تخمین نویز به صورت سراسری اشتباه است. در نتیجه باید نویز را به صورت محلی تخمین زد و آستانه‌گذاری بر اساس این تخمین در نواحی مختلف صورت گیرد.

در این مطالعه یک متد که کاملاً با PCA غیر محلی تصویر در ارتباط است برای تخمین نویز استفاده شده است. مقادیر ویژه‌ی تجزیه‌ی PCA با تغییرات سیگنال و نویز در ارتباط است به این صورت که مقادیر ویژه‌ی بزرگتر متناسب با سیگنال هستند و مقادیر ویژه‌ی کوچکتر متناسب با نویز هستند. بنابراین در اینجا ایده آستانه‌گذاری برای حذف نویز مطرح می‌شود که این آستانه متناسب با انحراف معیار نویز است.

همانطور که پیشتر اشاره گردید، هرچه پچ‌های انتخاب شده در یک ماتریس تشابه بیشتری داشته باشند تنگی در تبدیل PCA بیشتر است و سه عمده‌ی مقادیر ویژه متناظر با سیگنال است. حال برای تخمین میزان نویز می‌توان از یک میانه‌گیری بر روی مقادیر ویژه استفاده نمود. به عنوان مثال در یک مجموعه پچ انحراف معیار نویز تقریباً 7 بوده است. برای این مجموعه مقادیر ویژه محاسبه گردیده است و به صورت زیر نشان داده شده است. ملاحظه می‌شود که با یک میانه‌گیری از مقادیر ویژه می‌توان با دقت قابل قبولی نویز را تخمین زد.



شکل 2-1 نمودار مقادیر ویژه

بنابراین انحراف معیار نویز را می‌توان متناسب با میانه‌ی مقادیر ویژه دانست و می‌توان برای محاسبه‌ی آن از فرمول زیر بهره جست.

$$\hat{\sigma} = \beta \sqrt{\text{median}(\lambda)}$$

که در آن λ مقادیر ویژه و β ضریب تصحیح است که با تعداد واکسل‌های هر پچ و تعداد پچ‌های هر مجموعه نسبت دارد که همانطور که در بخش‌های پیش گفته شد در این پروژه تعداد پچ‌ها را با تعداد واکسل‌های هر پچ برای تبدیل PCA برابر در نظر می‌گیریم ($N=K$) بنابراین β متناظر با این نسبت 1.16 در نظر گرفته می‌شود.

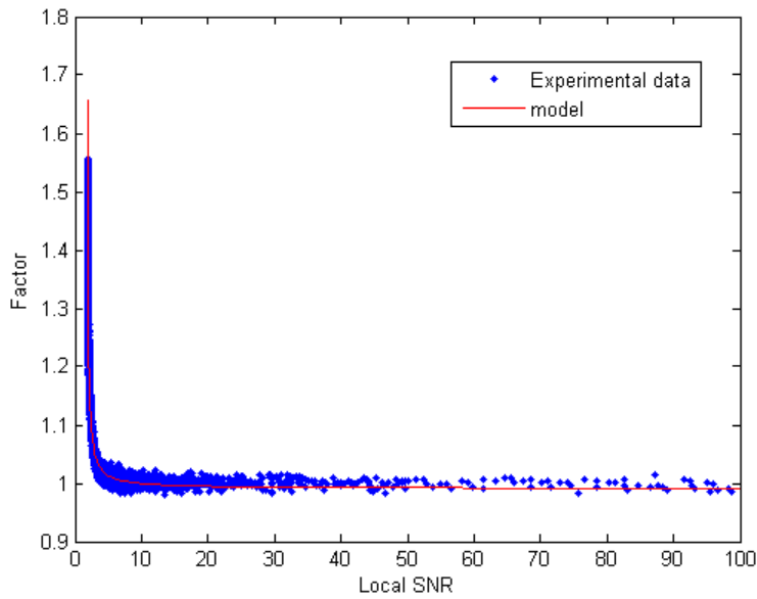
این متد برای نویزهای با انحراف معیار کوچک و مجموعه پچ‌های شامل لبه نویز را بیشتر از حد موجود تخمین می‌زند بنابراین برای یک تخمین دقیق‌تر میانه‌گیری را بین مقادیر ویژه‌ی کوچکتر از میانه‌ی کلی محدود می‌کنیم بنابراین فرمول بندی تخمین نویز به صورت زیر ارائه می‌شود.

$$\hat{\sigma} = \beta \sqrt{\text{median}(\lambda_t)} \quad \lambda_t = \{\lambda_i \mid \sqrt{\lambda_i} < 2\text{median}(\sqrt{\lambda})\}$$

4.2.1 تخمین نویز Rician

در اکثر فرض‌های حذف نویز، نویز را به صورت گوسی جمع شونده در نظر می‌گیرند. اما در تصاویر ام آر آی به صورت معمول نویز از توزیع Rician پیروی می‌کند. نامتقارنی توزیع Rician باعث ایجاد بایاس غیر ثابت در نواحی مختلف تصویر می‌شود بنابراین علاوه بر تخمین دقیق نویز در هر ناحیه باید بایاس مربوط به آن ناحیه نیز محاسبه شود.

در قسمت قبل انحراف معیار محاسبه شده برای نویز گوسی بود حال در این قسمت قصد داریم متدی ارائه دهیم که این انحراف معیار تخمین زده شده‌ی گوسی را به انحراف معیار نویز Rician تبدیل کنیم. این متد برخلاف سادگی آن بسیار عملکرد خوبی دارد. برای این تخمین از SNR محلی استفاده می‌شود. برای محاسبه‌ی SNR محلی از تقسیم میانگین به انحراف معیار محلی استفاده می‌شود. در نهایت با استفاده از فرمول فیت شده بر آزمایشات SNR بر روی ضریب اصلاح انحراف معیار گوسی را به Rician تبدیل می‌کنیم.



شکل 3-1 آزمایشات انجام شده برای تخمین منحنی ضریب اصلاح

بنابراین این ضریب اصلاح بر حسب γ که همان SNR محلی تصویر است به صورت زیر محاسبه می‌شود.

$$\Phi(\gamma) = \begin{cases} \frac{((0.9846(\gamma - 1.86) + 0.1983))}{((\gamma - 1.86) + 0.1175))} & \text{if } (\gamma > 1.86) \\ 0 & \text{otherwise} \end{cases}$$

در نهایت برای تخمین دقیق نویز Rician این ضریب تصحیح را در انحراف معیار تخمین زده شده ضرب می‌کنیم.

$$\hat{\sigma} = \sigma \Phi(\gamma)$$

5.2.1 تطابق با نویز Ricain

همانطور که پیشتر اشاره شد نویز تصاویر ام‌ا‌ر‌ای از نوع نویز Ricain است که در نواحی مختلف بایاس متفاوتی وجود دارد بنابراین لازم است این بایاس تصحیح شود. برای فرمول بندی این مفهوم، امید ریاضی چگالی احتمال نویز Ricain را می‌توان به صورت زیر نوشت.

$$E[R(v, \sigma)] = \sigma \sqrt{\frac{\pi}{2}} \exp\left(-\frac{v^2}{2\sigma^2}\right) \left(\left(1 + \frac{v^2}{2\sigma^2}\right) I_0\left(\frac{v^2}{4\sigma^2}\right) + \left(\frac{v^2}{2\sigma^2}\right) I_1\left(\frac{v^2}{4\sigma^2}\right) \right)^2$$

که در آن v میانگین، σ انحراف معیار، I_0, I_1 توابع بسل نوع صفر و نوع اول هستند. با تغییر متغیر $\phi = v/\sigma$ فرمول زیر را خواهیم داشت.

$$\frac{E[R(v, \sigma)]}{\sigma} = \sqrt{\frac{\pi}{2}} \exp\left(-\frac{\phi^2}{2}\right) \left(\left(1 + \frac{\phi^2}{2}\right) I_0\left(\frac{\phi^2}{4}\right) + \left(\frac{\phi^2}{2}\right) I_1\left(\frac{\phi^2}{4}\right) \right)^2$$

بنابراین می توان مقدار صحیح واکسل که بایاس آن تصحیح شده است را طبق رابطه ی زیر محاسبه نمود [4].

$$\hat{x} = \sigma \eta(x/\sigma)$$

در گام نهایی حذف بایاس نویز Ricain در فیلتر میانگین گیر غیر محلی می توان از رابطه ی زیر استفاده نمود. که در آن σ انحراف معیار نویز Ricain تخمین زده شده در موقعیت i است.

$$\hat{A}(i) = \sqrt{\max\left(\left(\frac{\sum_{j \in \Omega} w(i, j) y(i)^2}{\sum_{j \in \Omega} w(i, j)}\right) - 2\sigma(i)^2, 0\right)}$$

3-1 خلاصه ی الگوریتم مورد استفاده

در این بخش خلاصه ای از متدهای مورد استفاده در این مطالعه و ترتیب پیاده سازی هر متد گفته می شود.

1.3-1 متد NL_PCA

(1) پیاده سازی فیلتر میانه گیر سه بعدی بر روی تصویر نویزی

(2) استفاده از تصویر خروجی مرحله 1 برای:

- گروه بندی پچ های مشابه
- تجزیه ی PCA بر روی این گروه ها اعمال می شود
- با فرمول های گفته شده نویز تخمین زده می شود.
- ترشلد گذاری برای حذف نویز

• محاسبه‌ی وارون PCA

(3) ترکیب نتایج خروجی مرحله‌ی قبل با یکدیگر برای بدست آوردن تصویر حذف نویز شده و نویز

تخمین زده شده در هر ناحیه

(4) تصحیح بایاس نویز Rician

2.3.1 متد PRI_NL_PCA

(1) اعمال متد NL_PCA و بدست آوردن تصویر خروجی

(2) اعمال یک فیلتر میانگین‌گیر غیرمحلی و بدست آوردن نتیجه‌ی نهایی

4.1 دادگان مورد استفاده

دادگان مورد استفاده در این مطالعه، تصاویر ام آر آی $T1_W^1$ هستند که از فانتوم‌های BrianWeb استفاده شده است. به این تصاویر نویز گوسی و Rician اضافه گردید و سپس عملیات حذف نویز با متدهای بالا صورت داده شد.

¹ T1_wieghted

2 پیاده‌سازی متدهای مقاله

در این بخش به پیاده‌سازی الگوریتم‌ها و متدهای معرفی شده در بخش اول پرداخته می‌شود.

1.2 پیاده‌سازی فیلتر میانه‌گیر

برای این فیلتر ابتدا سائز کرنل مورد نظر و تصویر به ورودی تابع داده می‌شود و عملیات *padding* متناسب با ابعاد کرنل انجام می‌شود تا تصویر خروجی هم‌سائز تصویر ورودی باشد. سپس با لغزاندن کرنل در تصویر میانه‌ی کرنل به جای پیکسل مورد فیلتر قرار داده می‌شود و در نهایت تصویر فیلتر شده به خروجی می‌رود. این تابع توانایی میانه‌گیری سیگنال‌های یک، دو و سه بعدی را دارا می‌باشد. کد این فیلتر به صورت زیر است.

```
1. function B = medfilt3(A,siz,padopt,CHUNKFACTOR)
2. if nargin~=4
3.     CHUNKFACTOR = 1;
4. end
5. if CHUNKFACTOR<1, CHUNKFACTOR = 1; end
6.
7. %% Checking input arguments
8. if isscalar(A), B = A; return, end
9.
10. if ndims(A)>3
11.     error('A must be a 1-D, 2-D or 3-D array.')
12. end
13.
14. if all(isnan(A(:))), B = A; return, end
15.
16. sizA = size(A);
17. if nargin==1
18.     % default kernel size is 3 or 3x3 or 3x3x3
19.     if isvector(A)
20.         siz = 3;
21.     else
22.         siz = 3*ones(1,numel(sizA));
23.     end
24.     padopt = 'replicate';
25. elseif nargin==2
26.     % default padding option is "replicate"
27.     padopt = 'replicate';
28. end
29.
30. %% Make SIZ a 3-element array
31. if numel(siz)==2
32.     siz = [siz 1];
33. elseif isscalar(siz)
34.     if sizA(1)==1
35.         siz = [1 siz 1];
36.     else
37.         siz = [siz 1 1];
38.     end
```

```

39. end
40.
41. %% Chunks: the numerical process is split up in order to avoid large arrays
42. N = numel(A);
43. siz = ceil((siz-1)/2);
44. n = prod(siz*2+1);
45. if n==1, B = A; return, end
46. nchunk = (1:ceil(N/n/CHUNKFACTOR):N);
47. if nchunk(end)~=N, nchunk = [nchunk N]; end
48.
49. %% Change to double if needed
50. class0 = class(A);
51. if ~isa(A,'float')
52.     A = double(A);
53. end
54.
55. %% Padding along specified direction
56. % If PADARRAY exists (Image Processing Toolbox), this function is used.
57. % Otherwise the array is padded with scalars.
58. B = A;
59. sizB = sizA;
60. try
61.     A = padarray(A,siz,padopt);
62. catch
63.     if ~isscalar(padopt)
64.         padopt = 0;
65.         warning('MATLAB:medfilt3:InexistentPadarrayFunction',...
66.             ['PADARRAY function does not exist: '...
67.             'only scalar padding option is available.\n'...
68.             'If not specified, the scalar 0 is used as default.']);
69.     end
70.     A = ones(sizB+siz(1:ndims(B))*2)*padopt;
71.     A(siz(1)+1:end-siz(1),siz(2)+1:end-siz(2),siz(3)+1:end-siz(3)) = B;
72. end
73. sizA = size(A);
74.
75. if numel(sizB)==2
76.     sizA = [sizA 1];
77.     sizB = [sizB 1];
78. end
79.
80. %% Creating the index arrays (INT32)
81. inc = zeros([3 2*siz+1],'int32');
82. siz = int32(siz);
83. [inc(1,:,:) inc(2,:,:) inc(3,:,:)] = ndgrid(...
84.     [0:-1:-siz(1) 1:siz(1)],...
85.     [0:-1:-siz(2) 1:siz(2)],...
86.     [0:-1:-siz(3) 1:siz(3)]);
87. inc = reshape(inc,1,3,[]);
88.
89. I = zeros([sizB 3],'int32');
90. sizB = int32(sizB);
91. [I(:, :, 1) I(:, :, 2) I(:, :, 3)] = ndgrid(...
92.     (1:sizB(1))+siz(1),...
93.     (1:sizB(2))+siz(2),...
94.     (1:sizB(3))+siz(3));
95. I = reshape(I,[],3);
96.
97. %% Check if NANMEDIAN exists
98. existNaNmedian = exist('nanmedian','file');
99.
100.     %% Filtering
101.     for i = 1:length(nchunk)-1

```

```

102.
103.         Im = repmat(I(nchunk(i):nchunk(i+1),:),[1 1 n]);
104.         Im = bsxfun(@plus,Im,inc);
105.
106.         I0 = Im(:,1,:) +...
107.             (Im(:,2,:)-1)*sizA(1) +...
108.             (Im(:,3,:)-1)*sizA(1)*sizA(2);
109.         I0 = squeeze(I0);
110.
111.         if existNaNMedian
112.             B(nchunk(i):nchunk(i+1)) = nanmedian(A(I0),2);
113.         else
114.             B(nchunk(i):nchunk(i+1)) = median(A(I0),2);
115.         end
116.     end
117.     B = cast(B,class0);

```

2-2 پیاده‌سازی فیلتر مبتنی بر PCA

برای پیاده‌سازی این نوع فیلترینگ اولین تلاشی که صورت گرفت بر روی تصاویر دوبعدی خاکستری بود. برای این کار ابتدا به تصویر اصلی نویز گوسی با میانگین صفر اضافه شد سپس یک پنجره با ابعاد قابل تنظیم توسط کاربر و استفاده از دستور *im2col* متلب تمام پچ‌های تصویر در یک ماتریس قرار داده شدند، توجه شود این کار بدون توجه به پنجره‌های مشابه صورت گرفت و صرفاً برای انجام فیلترینگ *PCA* انجام شد.

```

1. clc;clear;close all
2. s = 0.1 % noise standard deviation
3. u = im2double(rgb2gray(imread('peppers.png')));
4. v = u+s*randn(size(u));
5.
6. f=5;
7. Y = im2col(v,[2*f+1 2*f+1],'sliding');

```

پس از استخراج ماتریس *Y* که شامل پچ‌های برداری شده تصویر است بر روی آن تبدیل *PCA* را همانطور که در بخش قبل توضیح داده شد، اعمال می‌کنیم. برای این کار ابتدا میانگین و کوواریانس ماتریس را بدست آورده و سپس مقادیر ویژه‌ی این ماتریس کوواریانس را محاسبه می‌کنیم. در گام بعد باید این مقادیر و بردارهای ویژه به ترتیب نزولی مرتب شوند.

```

1. [nr, nc] = size(u);
2. [mY,C,Yc]=moyCov(Y);
3. [X,D] = eig(C);
4. %%
5. % plot eigenvalues in decreasing order
6. [D,I] = sort(diag(D), 'descend'); plot(D);
7. X = X(:,I);
8. % plot first eigenvectors
9. figure;colormap(gray);

```

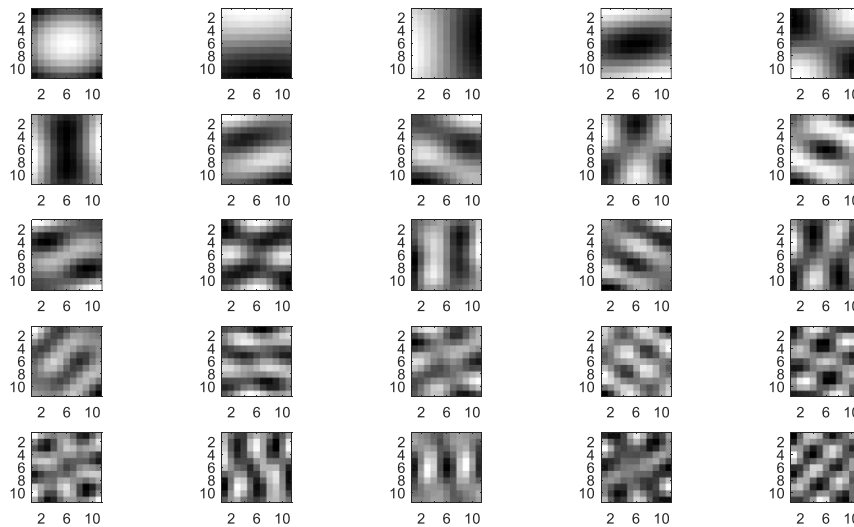


```

10. for i=1:25
11.     subplot(5,5,i);imagesc(reshape(X(:,i),2*f+1,2*f+1));axis image;
12. end
13.
14. function [mY,C,Yc]=moyCov(Y)
15.     mn = size(Y,2)
16.     mY = (sum(Y,2)/mn);
17.     C = cov(Y'); %sum((Y-mY)*(Y-mY)')/mn
18.     Yc = minus(Y , mY);
19. end

```

برای داشتن یک دید کلی بردار ویژه‌های متناظر با مقادیر ویژه مرتب شده نشان داده شد.



شکل 1-2 بردارهای ویژه متناظر با مقادیر ویژه

مشاهده می‌شود که هرچه مقادیر ویژه کوچکتر می‌شوند بردارهای ویژه تغییرات بیشتری دارند و به نظر نویزی تر هستند.

در گام بعدی همانطور که در بخش اول اشاره شد برای فیلترگذاری در تبدیل PCA بر روی مقادیر ویژه آستانه‌گذاری صورت می‌گیرد و مقادیری که از آستانه کوچکتر هستند را حذف می‌کنیم. در اینجا آستانه 2.1 برابر انحراف معیار نویز قرار داده شده است. در نهایت تبدیل معکوس PCA برای رسیدن به ماتریس پیچ‌های حذف نویز شده اعمال گردیده است.

```

1. Yproj=X'*Yc; % computation of all scalar products X_i^t
   (Y_k-m_Y)
2. eta = 2.1*s;
3. Yproj(abs(Yproj)<eta)=0; % hard thresholding
4. Z = X*Yproj + mY*ones(1,size(Y,2)); % reconstruction of the patches after hard
   thresholding

```

در مرحله‌ی نهایی این ماتریس پچ‌ها باید بازسازی شود تا به تصویر بدون نویز دست یافت. برای این کار پس از تغییر شکل پچ‌ها از بردار به ماتریس‌های با اندازه‌ی اصلی، یک میانگین‌گیری بین پچ‌های همپوشان صورت می‌گیرد و در نهایت تصویر اصلی بازسازی خواهد شد.

```
1. tmp = zeros(nr,nc,(2*f+1)^2);
2. nb = zeros(nr,nc);
3. for x = 1:2*f+1
4.     for y = 1:2*f+1
5.         i = (2*f+1)*(y-1)+x;
6.         w = reshape(Z(i,:),nr-2*f,nc-2*f); % use matrix instead of reshape in scilab
7.         tmp(x:nr-2*f+x-1,y:nc-2*f+y-1,i) = w;
8.         nb(x:nr-2*f+x-1,y:nc-2*f+y-1) = nb(x:nr-2*f+x-1,y:nc-2*f+y-1) +1;
9.     end
10. end
11. vdenoised = sum(tmp,3)./nb;
12. %%
13. figure;imshow([u, v, vdenoised],[])
```

نتیجه به صورت زیر حاصل شد. تصویر سمت راست، تصویر اولیه‌ی بدون نویز، تصویر وسط، تصویر نویزی با انحراف معیار 0.1 و تصویر سمت چپ، تصویر حذف نویز شده با استفاده از PCA است. مشاهده می‌شود نویز تا حد خوبی کاهش یافته است.



شکل 2-2 تصویر حذف نویز شده

حال همین روند برای تصاویر سه بعدی ام آر آی اعمال می‌شود. برای این کار همانطور که در PCA دو بعدی دیدیم لازم است از یک بلوک پچ‌های مشابه استخراج شوند. متلب برای استخراج پچ‌های دو بعدی دستور `im2col` را دارد اما برای پچ‌های سه بعدی باید این تابع نوشته شود بنابراین تابع `im2col3D` برای استخراج پچ‌های یک بلوک با سایز دلخواه و گام دلخواه نوشته شد.

```
1. function Y = im2col3D(im,r,step)
2. % extract patches with desired size and step
3. [m,n,w] = size(im);
4. counter = 1;
5. for i = 1:step:m-r+1
6.     for j = 1:step:n-r+1
```

```

7.         for q = 1:step:w-r+1
8.             temp = im(i:i+r-1,j:j+r-1,q:q+r-1);
9.             Y(:,counter) = temp(:);
10.            counter = counter +1;
11.        end
12.    end
13. end
14. end

```

در گام بعد پیچ‌های برداری شده باید میانگین، پیچ‌های به مرکز منتقل شده و کوواریانسشان محاسبه شود برای این کار از تابع زیر استفاده می‌شود.

```

1. function [mY, C ,Yc]=moyCov(Y)
2. % function for calculating cov and mean vector
3. mn = size(Y,2);
4. mY = (sum(Y,2)/mn);
5. C = cov(Y'); %sum((Y-mY)*(Y-mY)')/mn
6. Yc = minus(Y , mY);
7. end

```

پس از محاسبه‌ی ماتریس کوواریانس مقادیر ویژه‌ی آن محاسبه و مرتب می‌شود.

```

1. %% pca
2. Y = im2col3D(noisy_block,r,step);
3. [mY,C,Yc]=moyCov(Y);
4. [X,D] = eig(C);
5. %% eigenvalues in decreasing order
6. [D,I] = sort(diag(D), 'descend'); %plot(D);
7. X = X(:,I);

```

در گام بعد همانطور که در بخش اول گفته شد، باید تخمینی از نویز با فرمول‌های گفته شده بدست آوریم و با استفاده از این تخمین یک ترشلد برای حذف نویز با استفاده از PCA پیدا کنیم. برای این کار از تابع زیر استفاده می‌شود. ورودی این تابع مقادیر ویژه‌ی ماتریس کوواریانس است و با مراجعه به بخش اول برای محاسبه‌ی انحراف معیار نویز یک ضریب تصحیح (1.29) را در میانه‌ی مقادیر ویژه ضرب می‌کردند. این عملیات برای نویز گوسی صادق بود. در حالی که اگر نویز Rician بود باید یک عملیات دیگر با توجه به SNR بلوک صورت می‌گرفت تا به مقدار دقیق انحراف معیار محلی نویز دست یافته شود.

برای تمایز بین نویز گوسی و نویز Rician از یک بیت کنترلی در ورودی تابع استفاده شد تا در صورتی که نویز Rician بود عملیات تصحیح را برای این نوع نویز انجام دهد. کد تابع به صورت زیر است. خروجی این تابع انحراف معیار محلی نویز برای بلوک مورد نظر است.

```

1. function est_sigma = Noise_std_est(D,Rician,Y)
2. med = median(sqrt(D));
3. lambda_t = 0;
4. for i=1:length(D)

```

```

5.     if sqrt(D(i)) < 2*sqrt(med)
6.         lambda_t = [lambda_t D(i)];
7.     end
8. end
9. lambda_t = lambda_t(2:end);
10. beta = 1.29;
11. est_sigma = beta*sqrt(abs(median(lambda_t)));
12.
13. if Rician
14.     l_m = mean(Y());
15.     l_std = std(Y());
16.     gamma = l_m/l_std;
17.     if gamma > 1.86
18.         phi_gamma = (0.9846*(gamma-1.86)+0.1983)/((gamma-1.86)+0.1175);
19.     else
20.         phi_gamma = 0;
21.     end
22.     est_sigma = est_sigma*phi_gamma;
23. end
24. end

```

در گام بعد با پیدا کردن میزان نویز محلی، عملیات آستانه گذاری انجام می‌شود. در تابع زیر مقادیر ویژه‌ی کوچکتر از 2.1 برابر نویز حذف می‌شوند و ماتریس پچ‌های حذف شده بازسازی خواهند شد.

```

1. function Z = hrdThresh_vPatchRec(X,Yc,mY,Y,est_sigma)
2. Yproj=X'*Yc; % computation of all scalar products X_i^t
   (Y_k-m_Y)
3. eta = 2.1*est_sigma;
4. Yproj(abs(Yproj)<eta)=0; % hard thresholding
5. Z = X*Yproj + mY*ones(1,size(Y,2)); % reconstruction of the patches after hard
   thresholding
6. end

```

در آخر پس از حذف نویز پچ‌های برداری شده باید به مکان اصلی خود در بلوک مورد نظر برگردند. برای این کار از تابع زیر برای میانگین‌گیری پچ‌های همپوشان و ساخت ماتریس نهایی بلوک دینویز شده استفاده شد.

```

1. function vdenoised = block_reconstruction(Z,block_shape,r,step)
2. nr = block_shape(1);nc = block_shape(2);nw = block_shape(3);
3. tmp = zeros(nr,nc,nw,(nr*nc*nw));
4. nb = zeros(nr,nc,nw);
5. i=0;
6. for x = 1:step:nr-r+1
7.     for y = 1:step:nc-r+1
8.         for l = 1:step:nw-r+1
9.             i = i+1;
10.            w = reshape(Z(:,i),r,r,r); % use matrix instead of reshape in scila
               b
11.            tmp(x:r+x-1,y:r+y-1,l:r+l-1,i) = w;
12.            nb(x:r+x-1,y:r+y-1,l:r+l-1) = nb(x:r+x-1,y:r+y-1,l:r+l-1) + 1;
13.        end
14.    end
15. end
16. vdenoised = (sum(tmp,4))./nb;
17. end

```

بنابراین تا این مرحله توانستیم برای یک بلوک پچ‌های مشابه را جدا کنیم و عملیات حذف نویز و تخمین نویز را برای بلوک مورد نظر انجام دهیم. در مقاله، ابعاد هر بلوک $7*7*7$ و ابعاد هر پچ $4*4*4$ در نظر گرفته شده است که پچ‌ها می‌توانند با گام‌های مختلف انتخاب شوند. بنابراین با استفاده از توابع معرفی شده در بالا برای نظم بیشتر کد، یک تابع نوشته می‌شود که عملیات حذف نویز برای هر بلوک را انجام می‌دهد و در خروجی بلوک حذف نویز شده و انحراف معیار نویز تخمین زده شده را می‌دهد.

```
1. function [denoised_block, block_map] = Nl_PCA_blockwise(noisy_block,r,step,Rician)
2. %% pca
3. Y = im2col3D(noisy_block,r,step);
4. [mY,C,Yc]=moyCov(Y);
5. [X,D] = eig(C);
6. %% eigenvalues in decreasing order
7. [D,I] = sort(diag(D), 'descend'); %plot(D);
8. X = X(:,I);
9. %% Noise estimation
10. est_sigma = Noise_std_est(D,Rician, Y);
11.
12. %% hard thresholding and vector patch reconstruction
13. Z = hrdThresh_vPatchRec(X,Yc,mY,Y,est_sigma);
14.
15. %% reconstructing original block
16. block_shape = size(noisy_block);
17. denoised_block = block_reconstruction(Z,block_shape,r,step);
18. block_map = est_sigma*ones(block_shape);
19. end
```

طبق آنچه گفته شد بایست برای بلوک‌های $7*7*7$ کل تصویر پچ‌های $4*4*4$ در این بلوک‌ها حذف نویز شود و در نهایت تجمیع و میانگین‌گیری بین شدت و میزان نویز بلوک‌ها برای ساخت تصویر نویزی و نقشه‌ی نویز در تصویر صورت گیرد. با توجه به کد زیر ابتدا این عمل برای تمامی بلوک‌ها انجام می‌شود و عملیات تجمیع به صورت همزمان صورت می‌پذیرد. در مرحله‌ی بعد در صورت وجود نویز Rician بایاس آن باید حذف شود بنابراین از فرمول زیر برای حذف این بایاس استفاده شد.

$$\hat{x} = \sigma \eta(x / \sigma)$$

```
1. function [final_img, map] = NL_PCA(noisy_im,r,t,step,Rician)
2. s = size(noisy_im);
3. denoised_img = zeros(s);
4. normalization = zeros(s);
5. map = zeros(s);
6. for ii=1:s(1)-2*t
7.     for jj=1:s(2)-2*t
8.         for ll = 1:s(3)-2*t
9.             noisy_block = noisy_im(ii:ii+2*t,jj:jj+2*t,ll:ll+2*t);
10.            [denoised_block, block_map] = Nl_PCA_blockwise(noisy_block,r,step,Rician);
```

```

11.         denoised_img(ii:ii+2*t,jj:jj+2*t,ll:ll+2*t) =denoised_block + denois
ed_img(ii:ii+2*t,jj:jj+2*t,ll:ll+2*t);
12.         map(ii:ii+2*t,jj:jj+2*t,ll:ll+2*t) =block_map + map(ii:ii+2*t,jj:jj+
2*t,ll:ll+2*t);
13.         normalization(ii:ii+2*t,jj:jj+2*t,ll:ll+2*t) =1 + normalization(ii:i
i+2*t,jj:jj+2*t,ll:ll+2*t);
14.         end
15.     end
16. end
17. final_img = denoised_img./normalization;
18. map = map./normalization;
19. if Rician
20. bias_corrected_img = zeros(s);
21. mdi = max(final_img(:));
22. for ii=1:s(1)
23.     for jj=1:s(2)
24.         for ll = 1:s(3)
25.             bias_corrected_img(ii,jj,ll)= map(ii,jj,ll) * etta( (final_img(ii,jj,l
l)/(map(ii,jj,ll)*mdi)));
26.         end
27.     end
28. end
29. end
30. end
31.
32. function out = etta(phi)
33. phi24 = (phi^2)/4;
34. out =( sqrt(pi/2)*exp(-
phi24)*((1+2*phi24)*besseli(0,phi24) + (2*phi24)*besseli(1,phi24))^2);
35. end

```

بنابراین تا این مرحله موفق به پیاده سازی فیلتر NL_PCA شدیم که خروجی آن تصویر حذف نویز شده و یک نقشه از انحراف معیار نویز در نقاط مختلف تصویر است.

در گام آخر فیلتر میانگین‌گیر غیر محلی تغییر ناپذیر نسبت به دوران برای تصویر سه بعدی پیاده‌سازی می‌شود. در این فیلتر از فرمول زیر استفاده شد.

$$w(i, j) = e^{-\frac{1}{2} \left(\frac{(y(i) - y(j))^2 + 3(\mu_{N_i} - \mu_{N_j})^2}{2h^2} \right)}$$

که برای h باید مقداری متناسب با شدت نویز در پیکسل مورد نظر انتخاب شود به همین علت نقشه‌ی نویز بدست آمده در مرحله‌ی قبل باید به این فیلتر داده شود. در مقاله ذکر شده که h می‌تواند 0.4 انحراف معیار نویز باشد. در گام بعدی این فیلترگذاری با استفاده از فرمول زیر در صورتیکه نویز Ricain وجود داشته باشد اقدام به حذف بایاس نهایی می‌شود.

$$\hat{A}(i) = \sqrt{\max\left(\left(\frac{\sum_{j \in \Omega} w(i, j) y(i)^2}{\sum_{j \in \Omega} w(i, j)}\right) - 2\sigma(i)^2, 0\right)}$$

کد این قسمت به صورت زیر می‌باشد.

```

1. function denoised = PRI_NL_PCA(img,v,t,map,Rician)
2. B = padarray(img,[v, v, v],'symmetric');
3. s = size(B);
4. denoised = zeros(size(img));
5. for i = v+1:s(1)-v
6.     i-v
7.     for j = v+1:s(2)-v
8.         for l = v+1:s(3)-v
9.             search_blk = B(i-v:i+v, j-v:j+v, l-v:l+v);
10.            ref_patch = B(i-t:i+t, j-t:j+t, l-t:l+t);
11.
12.            sig_wiegh = 0;
13.            sig_patch_wiegh = 0;
14.            h = 0.4*map(i-v,j-v,l-v);
15.            for k=t+1:2*v-t+1
16.                for q=t+1:2*v-t+1
17.                    for w=t+1:2*v-t+1
18.                        patch = search_blk(k-t:k+t,q-t:q+t,w-t:w+t);
19.
20.                        gi = (ref_patch(t+1,t+1, t+1)-patch(t+1,t+1, t+1))^2;
21.                        ui = 3*(mean(ref_patch(:))-mean(patch(:)))^2;
22.
23.
24.                        wiegh = exp(-0.5*((gi+ui)/2*h^2));
25.                        sig_wiegh = sig_wiegh + wiegh;
26.                        if Rician
27.                            patch_wiegh = wiegh*(patch(t+1,t+1,t+1))^2;
28.                        else
29.                            patch_wiegh = wiegh*patch(t+1,t+1,t+1);
30.                        end
31.                        sig_patch_wiegh = sig_patch_wiegh+patch_wiegh;
32.                    end
33.                end
34.            end
35.            if Rician
36.                denoised(i-v,j-v,l-v) =sqrt(max( (sig_patch_wiegh/sig_wiegh)-
37.                2*(map(i-v,j-v,l-v))^2,0));
38.            else
39.                denoised(i-v,j-v,l-v) = sig_patch_wiegh/sig_wiegh;
40.            end
41.        end
42.    end
43. end
44. end

```

این کد به علت جستجو برای یافتن پچ‌های مشابه هزینه‌ی محاسباتی بالایی دارد.

3 نتایج و مقایسه با مقاله اصلی

برای مقایسه‌ی نتایج با مقاله اصلی، لازم است نویز گوسی و Rician در دو حالت ثابت و متغیر با مکان به تصویر اضافه شوند و علاوه بر اعتبار سنجی حذف نویز توسط فیلترهای معرفی شده، میزان دقت تخمین نویز نیز محاسبه شود. بر این اساس برای اعتبار سنجی حذف نویز از معیارهای PSNR و SSIM و برای اعتبار سنجی تخمین میزان نویز ER و MER استفاده می‌گردد که در ادامه به توضیح هر یک پرداخته می‌شود.

1.3 معیارهای اعتبار سنجی

1.1.3 پیک نسبت سیگنال به نویز (PSNR)

این نسبت نیز مانند نسبت سیگنال به نویز است با این تفاوت که مقدار ماکزیمم تصویر بدون نویز را به جای مجموع تمام شدت‌ها در نظر می‌گیرد. هرچقدر این معیار بزرگتر باشد عملکرد فیلتر بهتر است. در زیر فرمول آن مشاهده می‌شود.

$$PSNR(x, y) = 10 \log_{10} \left(\frac{L^2}{\frac{1}{MN} \sum_{i,j} (x(i, j) - y(i, j))^2} \right)$$

که در آن L بیشترین مقدار شدت در تصویر تمیز است و M, N ابعاد تصویر هستند.

2.1.3 معیار SSIM¹

این معیار تقریباً با معیارهای بینایی انسان برابر است. فرمول آن به صورت زیر است.

$$SSIM(x, y) = \frac{(2\mu_x \mu_y)(2\sigma_{xy} + c_2)}{(\mu_x^2 + \mu_y^2 + c_1)(\sigma_x^2 + \sigma_y^2 + c_2)}$$

¹ Structural Similarity Index

که در آن μ_x و μ_y میانگین تصویر تمیز و نویزی است. σ_x و σ_y انحراف معیار تصویر تمیز و نویزی و σ_{xy} کوواریانس دو تصویر است. $C1, C2$ به صورت زیر تعریف می‌شوند.

$$c_1 = (k_1 L)^2, \text{ and } c_2 = (k_2 L)^2$$

که در آن L رنج دینامیکی تصویر و $K1, K2$ مقادیر ثابتی هستند ($K1 = 0.01, K2 = 0.03$).

3-1-3 اعتبار سنجی تخمین نویز

برای این اعتبار سنجی از نسبت خطا¹ استفاده می‌شود که برای یک پیکسل که در آن تخمین نویز انجام شده است به صورت زیر محاسبه می‌شود.

$$ER = |1 - \hat{\sigma} / \sigma|$$

حال این نسبت برای تمام پیکسل‌ها محاسبه می‌شود و میانگین‌گیری انجام می‌شود.

$$MER = \frac{1}{|\Omega|} \sum_{\forall i \in \Omega} |1 - \hat{\sigma}_i / \sigma_i|$$

2-3 اضافه کردن نویز و فیلتر کردن تصویر نویزی

همانطور که پیشتر اشاره شد لازم است نویز گوسی و Rician در دو حالت ثابت و متغیر با مکان به تصویر اضافه شوند برای این کار ابتدا تصویر بدون نویز سه بعدی خوانده شد و سپس با توجه به سویچ بیت‌هایی نوع نویز و ثابت یا متغیر بودن آن تعیین می‌شود. در ادامه با استفاده از یک حلقه‌ی for درصدهای مختلف نویز به تصویر اضافه می‌شود و با استفاده از فیلترهای معرفی شده در بخش پیش حذف نویز و تخمین نویز صورت می‌گیرد در نهایت معیارهای گفته شده محاسبه و نمایش داده می‌شوند. کد زیر مربوط به این عملیات است.

```
1. % read volume
2. name = 't1_icbm_normal_1mm_pn0_rf0.rawb';
3. fid = fopen(name, 'r');
4. s=[181,217,181];
```

¹ Error Ratio

```

5. ima=zeros(s(1:3));
6. for z=1:s(3),
7.     ima(:,:,z) = fread(fid,s(1:2),'uchar');
8. end;
9. fclose(fid);
10. ima=double(ima);
11.
12.
13.
14. % sigma = 20;
15. Rician = 0 %rician distribution 1 & gaussian 0
16. variable = 0 %variable=0(Homogeneous noise)  variable=1(spatially variable noise)

17.
18. % subvolume (do a test with a smaller volume)
19. ima=ima(50:60,50:60,50:60);
20. s=size(ima);
21. for i=1:2:9
22.     i
23.     sigma=i*max(ima(:))/100;
24.     randn('seed',0)
25.     if(variable)
26.         map = ones(3,3,3);
27.         map(2,2,2)=3;
28.         [x1,y1,z1] = meshgrid(1:3,1:3,1:3);
29.         [x2,y2,z2] = meshgrid(1:2/(s(2)-1):3,1:2/(s(1)-1):3,1:2/(s(3)-1):3);
30.         map = sigma*interp3(x1,y1,z1,map,x2,y2,z2,'cubic');
31.         if(Rician) rima=sqrt((ima+randn(size(ima)).*map).^2+(randn(size(ima)).*map).^2)
32.         ;
33.     else
34.         rima=ima+randn(size(ima)).*map;
35.     end
36. else
37.     if(Rician) rima=sqrt((ima+randn(size(ima))*sigma).^2+(randn(size(ima))*sigma).^2);
38.     else
39.         rima=ima+randn(size(ima))*sigma;
40.     end
41.     map=ones(s)*sigma;
42. end
43.
44. %% Median Filter
45. med_filt = medfilt3(rima,[3 3 3]);
46. %% Non Local PCA
47.
48. t = 3; %block half size (2*t+1)
49. r = 4; % patch size
50. step = 1;
51. [denoised_step1, map_est] = NL_PCA(med_filt,r,t,step,Rician);
52. %% Non Local mean
53. v = 5 %half size of search window
54. t = 1 %half size of surrounding window in pixel (i,j,k)
55. denoised_step2 = PRI_NL_PCA(denoised_step1,v,t,map_est,Rician);
56. %% show result
57. figure;
58. clf
59. colormap(gray);
60. n=round(size(denoised_step1,3)/2);
61. subplot(2,2,1),imagesc(imrotate(ima(:,:,n),90));title('Original Noise free Image')
62. subplot(2,2,2),imagesc(imrotate(rima(:,:,n),90));title('Noisy Image')
63. subplot(2,2,3),imagesc(imrotate(denoised_step1(:,:,n),90));title('NL-PCA denoised')

```

```

63. subplot(2,2,4),imagesc(imrotate(denoised_step2(:,:,n),90));title('PRI-NL-
    PCA denoised')
64. %% fidelity
65. % find max intensity of image for psnr
66. R=max(ima(:));
67. indi=find(ima>10);
68. sw = [1 1 1];
69. % for noisy image
70. oerror0(i)=sqrt(mean((ima(indi)-rma(indi)).^2));
71. opsnr0(i)=20*log10(R/oerror0(i));
72. ossim0(i)= ssim_index3d(rma,ima,sw,(indi));
73. % for NL-PCA
74. oerror1(i)=sqrt(mean((ima(indi)-denoised_step1(indi)).^2));
75. opsnr1(i)=20*log10(R/oerror1(i));
76. ossim1(i)= ssim_index3d(denoised_step1,ima,sw,indi);
77. % for PRI-NL-PCA
78. oerror2(i)=sqrt(mean((ima(indi)-denoised_step2(indi)).^2));
79. opsnr2(i)=20*log10(R/oerror2(i));
80. ossim2(i)= ssim_index3d(denoised_step2,ima,sw,indi);
81.
82. ER = abs(1-map_est./map);
83. MER(i) = mean(ER(:));
84. end
85. %% plots
86. op0=mean(opsnr0(1:2:9))
87. op1=mean(opsnr1(1:2:9))
88. op2=mean(opsnr2(1:2:9))
89.
90. figure
91. title('PSNR for noisy, NL-PCA and PRI-NL-PCA output')
92. clf
93. plot(1:2:9,opsnr0(1:2:9),'g')
94. hold on
95. plot(1:2:9,opsnr1(1:2:9),'b')
96. plot(1:2:9,opsnr2(1:2:9),'r')
97. xlabel('Noise level(%)')
98. ylabel('PSNR')
99.
100.     os0=mean(ossim0(1:2:9))
101.     os1=mean(ossim1(1:2:9))
102.     os2=mean(ossim2(1:2:9))
103.
104.     figure
105.     title('SSIM for noisy, NL-PCA and PRI-NL-PCA output')
106.     clf
107.     plot(1:2:9,ossim0(1:2:9),'g')
108.     hold on
109.     plot(1:2:9,ossim1(1:2:9),'b')
110.     plot(1:2:9,ossim2(1:2:9),'r')
111.     xlabel('Noise level(%)')
112.     ylabel('SSIM')

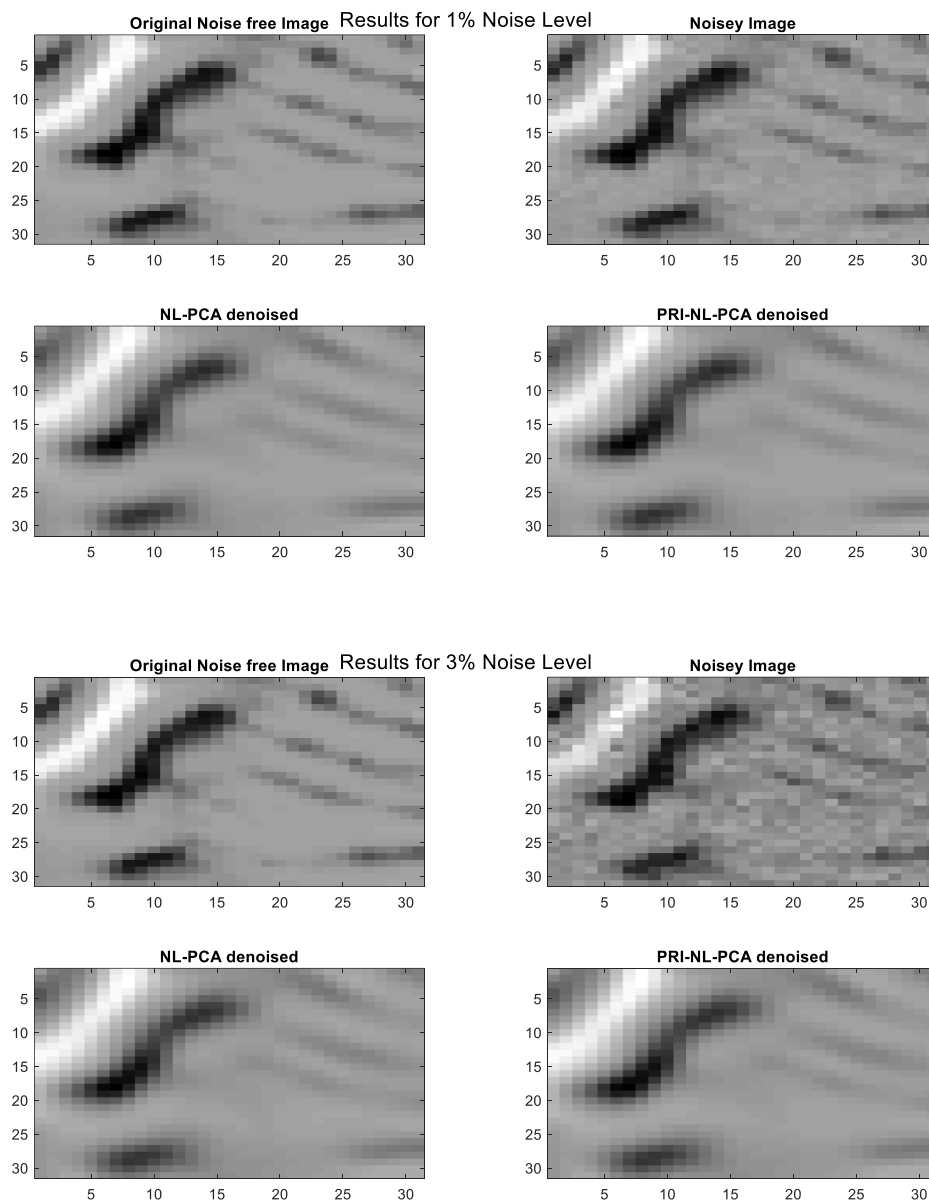
```

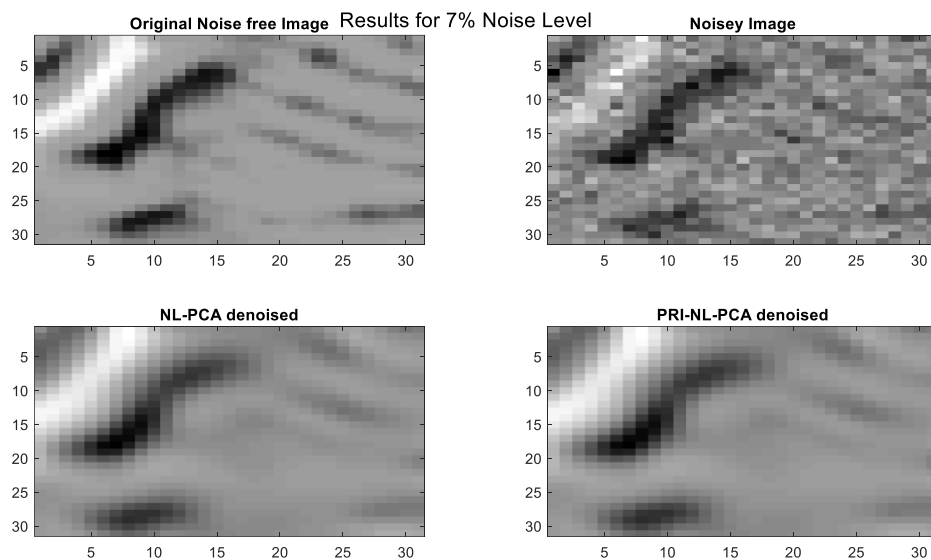
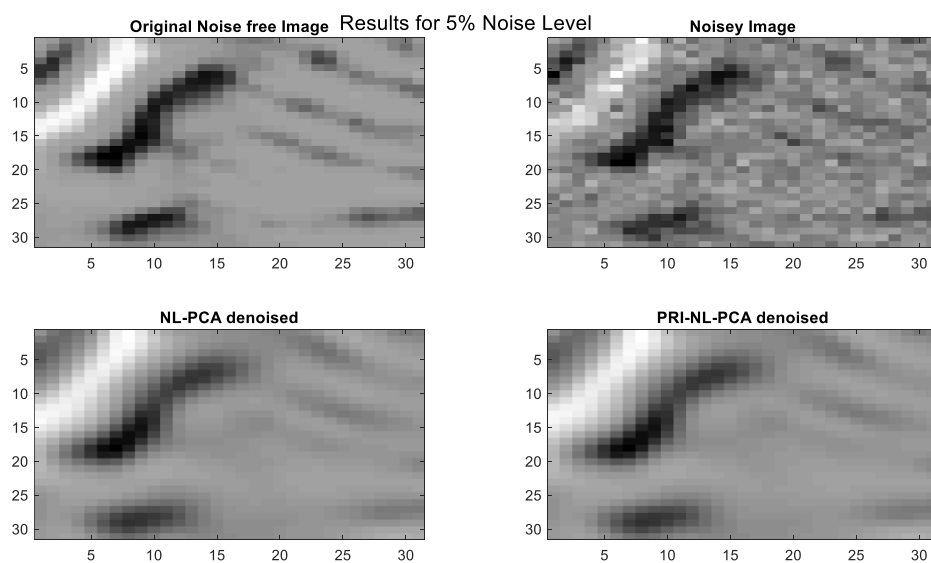
لازم به ذکر است چون این فیلترها جستجوهای مکانی زیادی انجام می‌دهند نسبتاً زمانگیر هستند بنابراین برای حذف نویز تنها از بخشی از تصویر استفاده گردید.

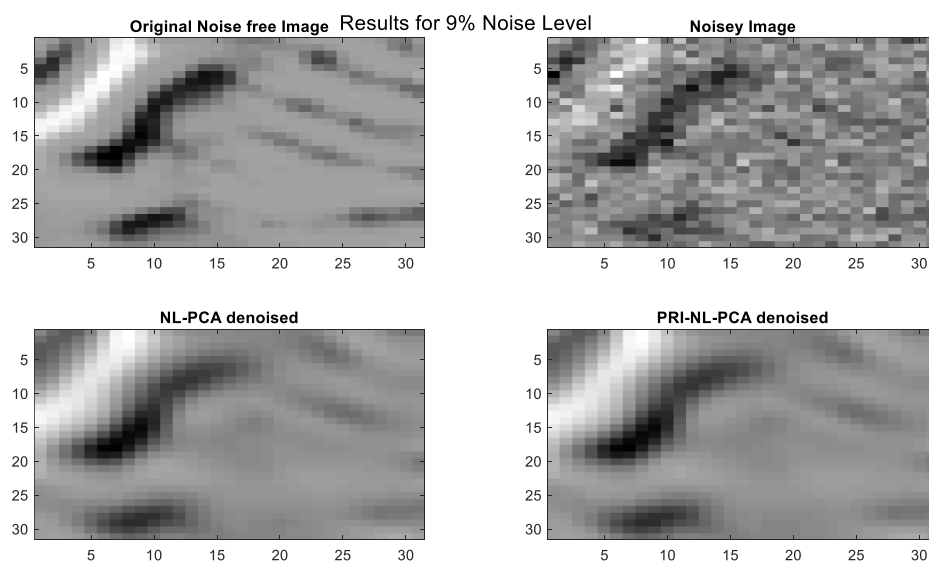
در ادامه فقط به تغییر نوع نویز و مقایسه‌ی معیارهای اعتبار سنجی پرداخته می‌شود.

1.2.3 نویز گوسی ثابت

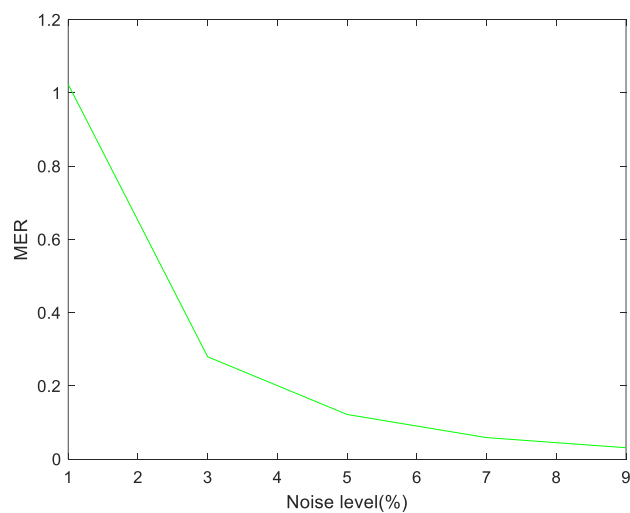
برای کلیه نویزهای اضافه شونده، نویز با درصدهای 1، 3، 5، 7 و 9 درصد اضافه می شود و نتایج نمایش داده می شوند. تصاویر تمیز، نویزی، حذف نویز شده با NL_PCA و PRI_NL_PCA به صورت زیر است.







معیارهای اعتبار سنجی به صورت زیر است.

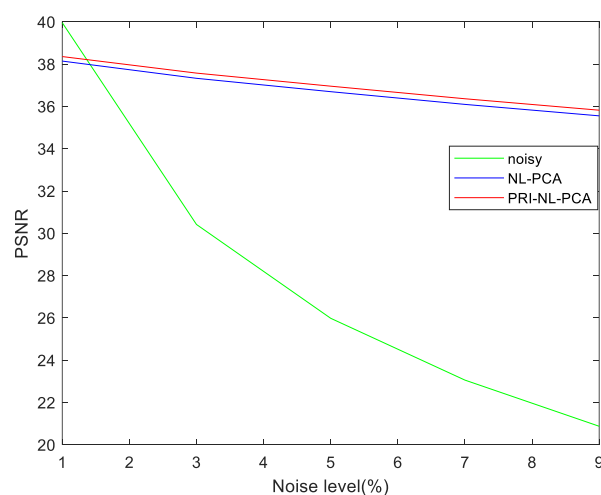
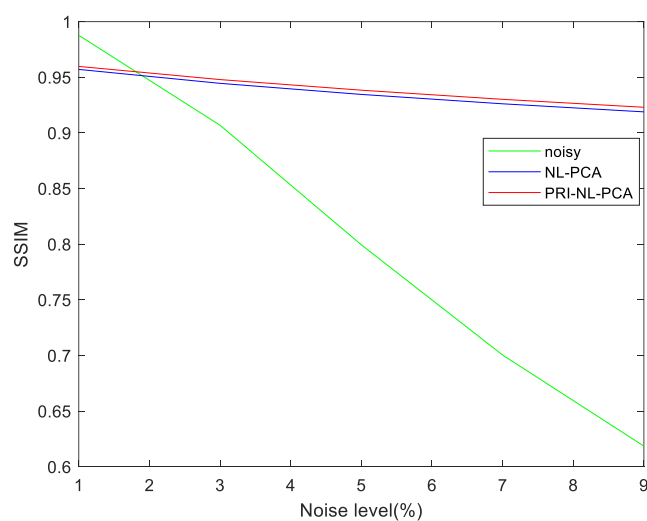


Method	Noise level					Average
	1%	3%	5%	7%	9%	
Median (Eq. 8)	0.2100	0.0715	0.0474	0.0395	0.0367	0.0810
Trimmed median (Eq. 9)	0.1141	0.0490	0.0387	0.0356	0.0345	0.0544

مشاهده می شود در نویزهای کوچک الگوریتم نوشته شده نویز را بیشتر از الگوریتم اصلی تخمین می زند اما در نویزهای بالاتر دقت آن بسیار بالا است.

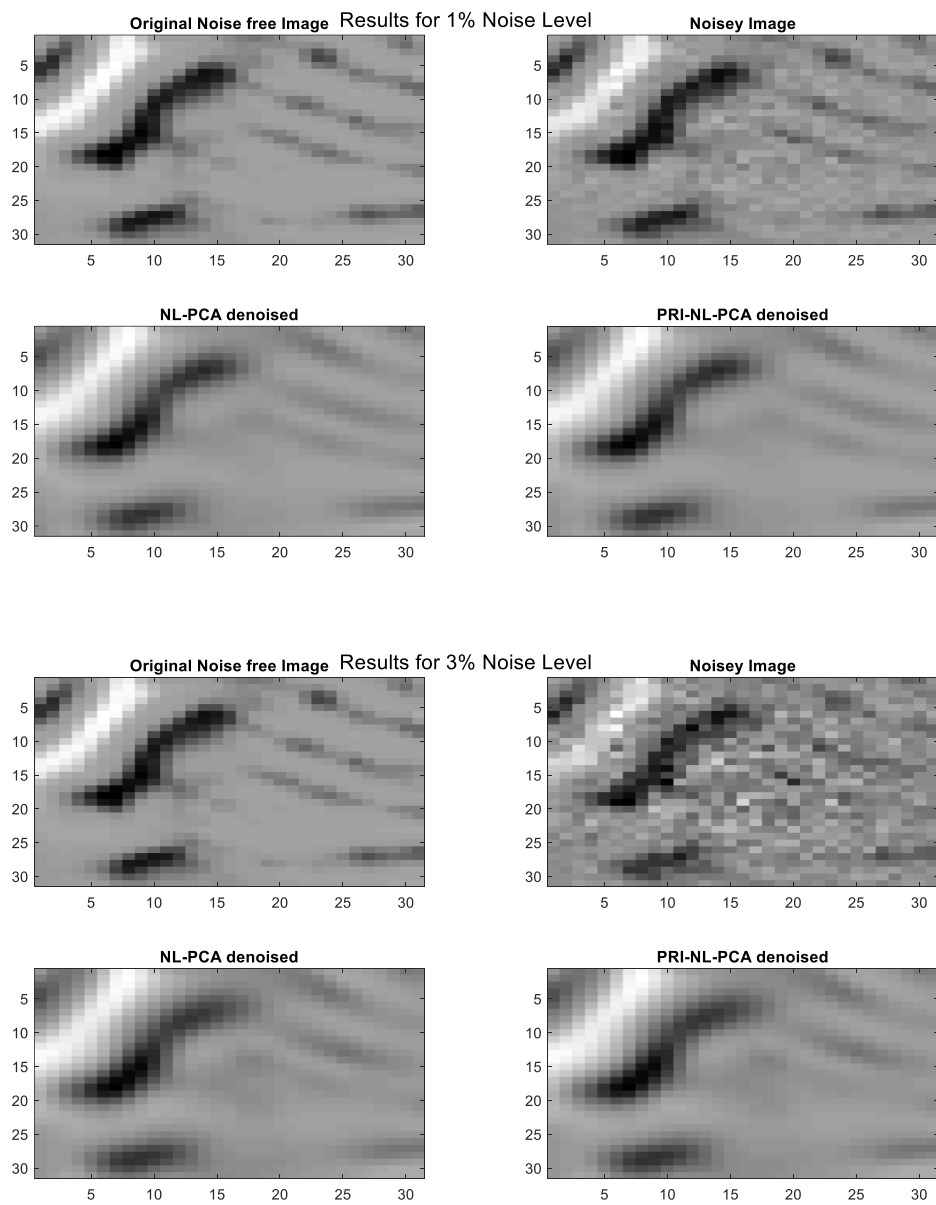
Table 9. PSNR and SSIM results of the compared methods for stationary noise (Gaussian and Rician).

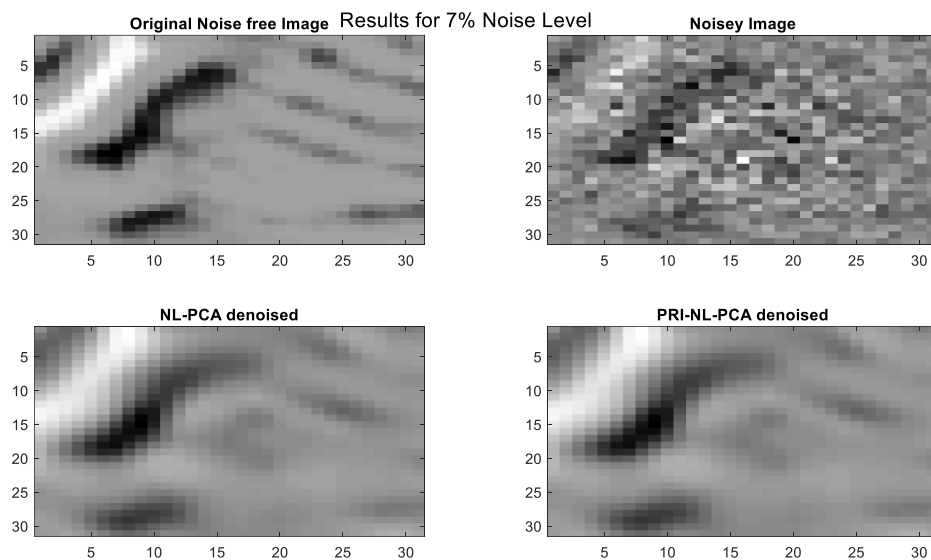
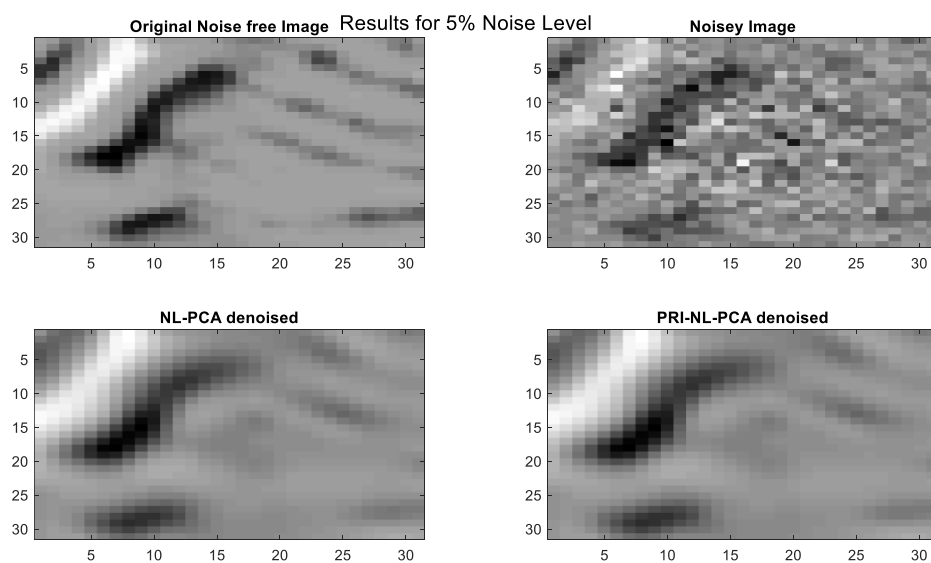
Noise	Filter	Noise level					
		1%	3%	5%	7%	9%	Average
Gauss.	Noisy	39.99 0.970	30.46 0.814	26.02 0.656	23.10 0.530	20.91 0.433	28.10 0.681
	ODCT	43.78 0.992	37.53 0.971	34.88 0.951	33.18 0.932	31.91 0.913	36.27 0.952
	PRI-NLM	44.22 0.993	38.34 0.976	35.58 0.959	33.75 0.940	32.37 0.922	36.85 0.958
	ONL-PCA	44.80 0.993	38.93 0.978	36.39 0.964	34.70 0.949	33.39 0.935	37.64 0.964
	NL-PCA	44.80 0.994	38.97 0.979	36.40 0.964	34.67 0.948	33.32 0.931	37.63 0.963
	OPRI-NL-PCA	45.20 0.994	39.40 0.981	36.69 0.968	34.94 0.955	33.61 0.941	37.97 0.968
	PRI-NL-PCA	45.38 0.994	39.33 0.981	36.63 0.968	34.90 0.955	33.58 0.941	37.96 0.968
	BM4D	44.02 0.992	38.35 0.975	35.91 0.960	34.31 0.945	33.10 0.930	37.14 0.960



مشاهده می‌شود که نتیجه در نویزهای با شدت بالا تقریباً با الگوریتم اصلی برابر است.

2.2.3 نویز گوسی متغیر با مکان





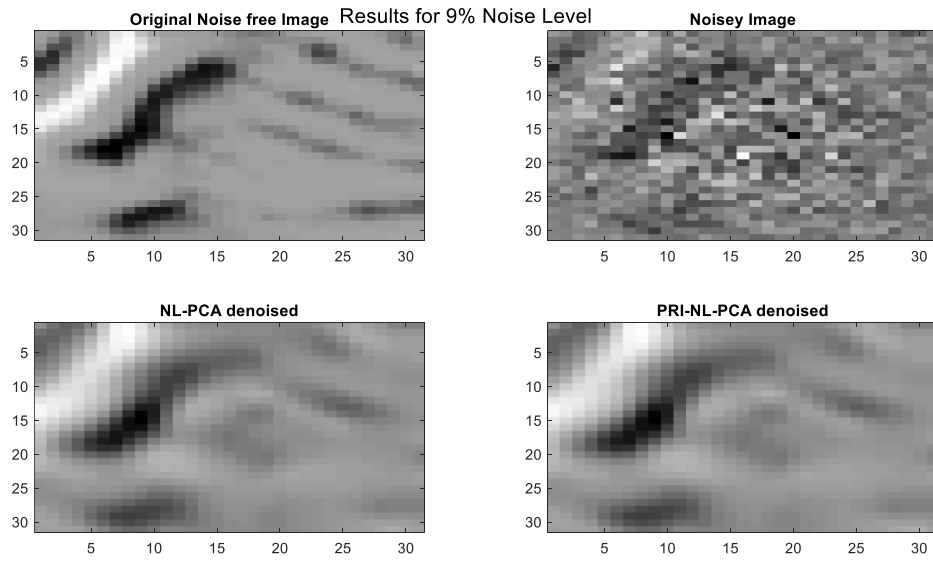


Table 5. Comparison of the two different noise estimation schemes for non stationary noise (MER)

Method	Noise level					MER
	1-3%	3-9%	5-15%	7-21%	9-27%	Average
ABM4D	0.2115	0.0715	0.0540	0.0527	0.0549	0.0889
NL-PCA (Eq. 7)	0.0765	0.0409	0.0370	0.0363	0.0365	0.0454

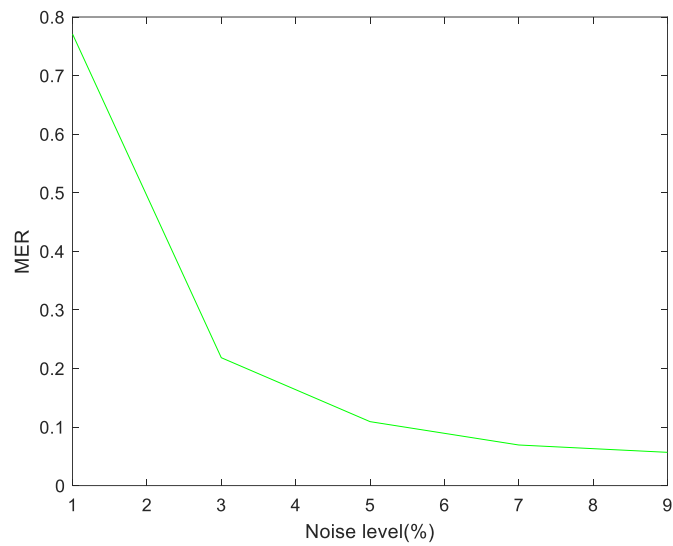
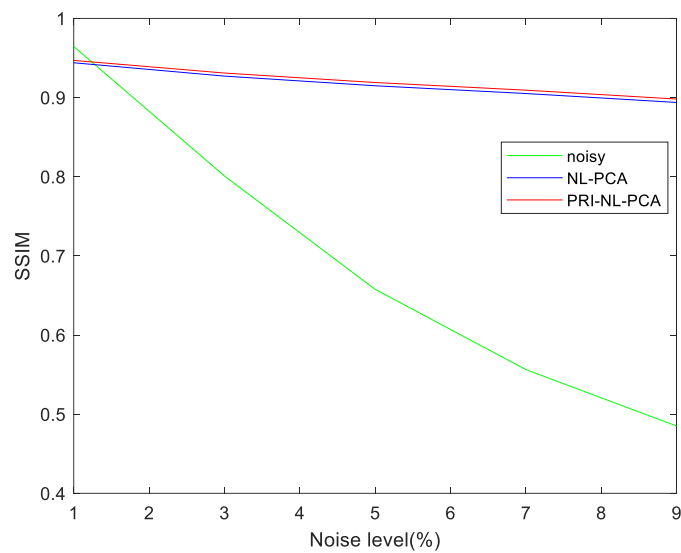
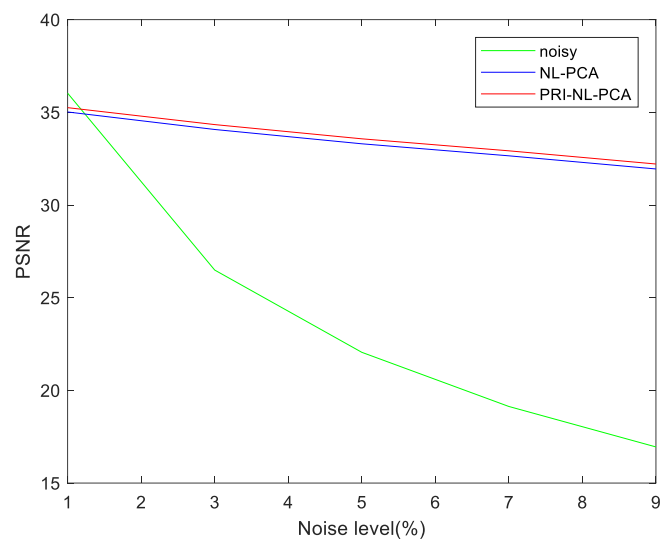
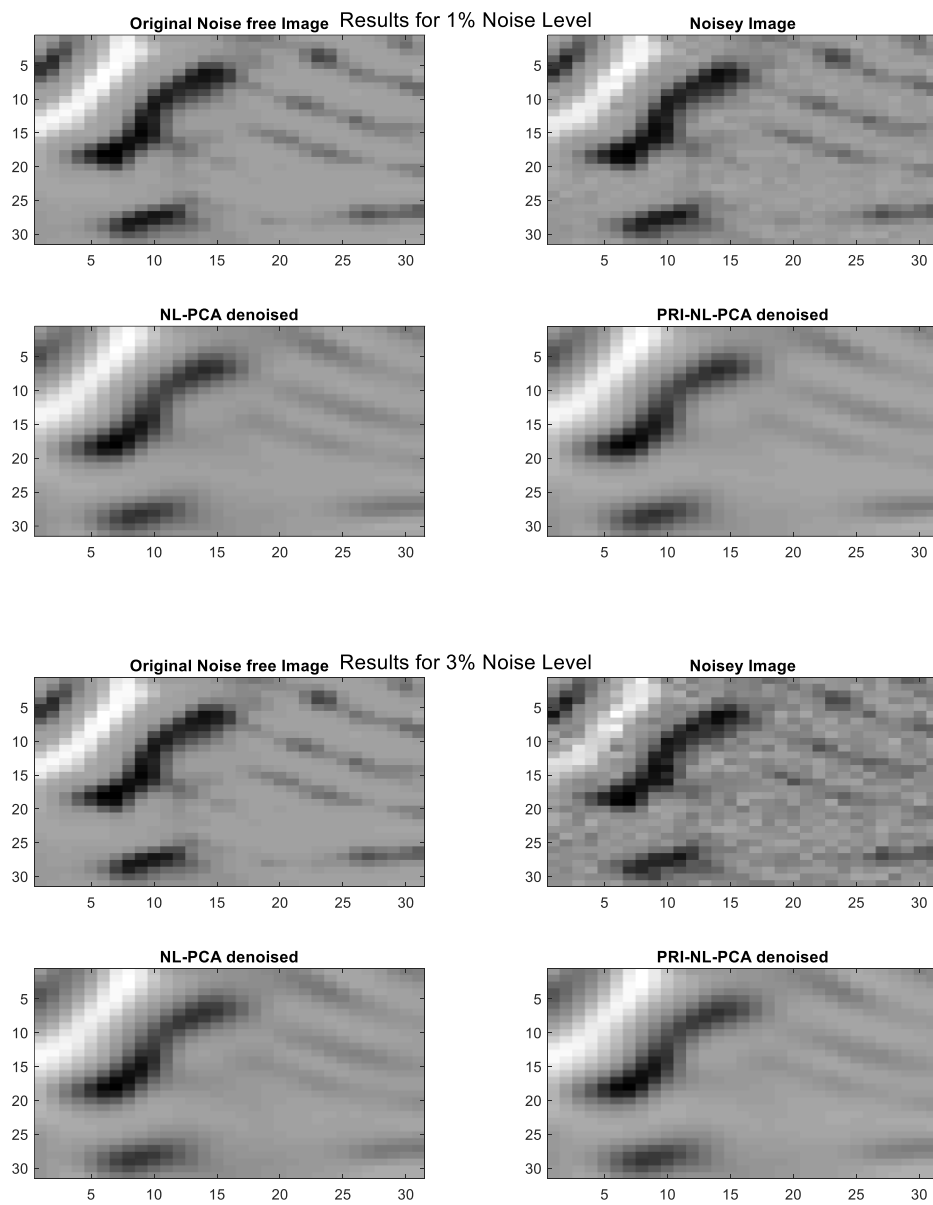


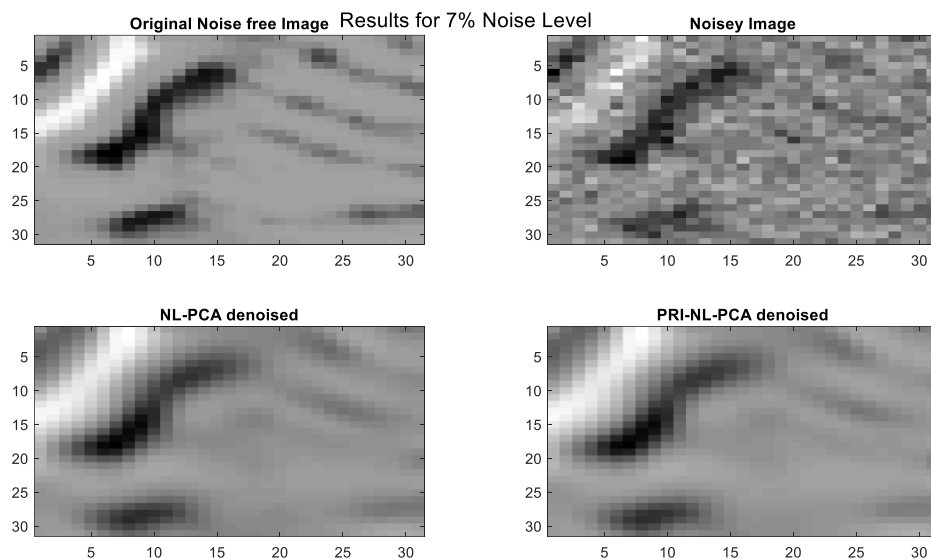
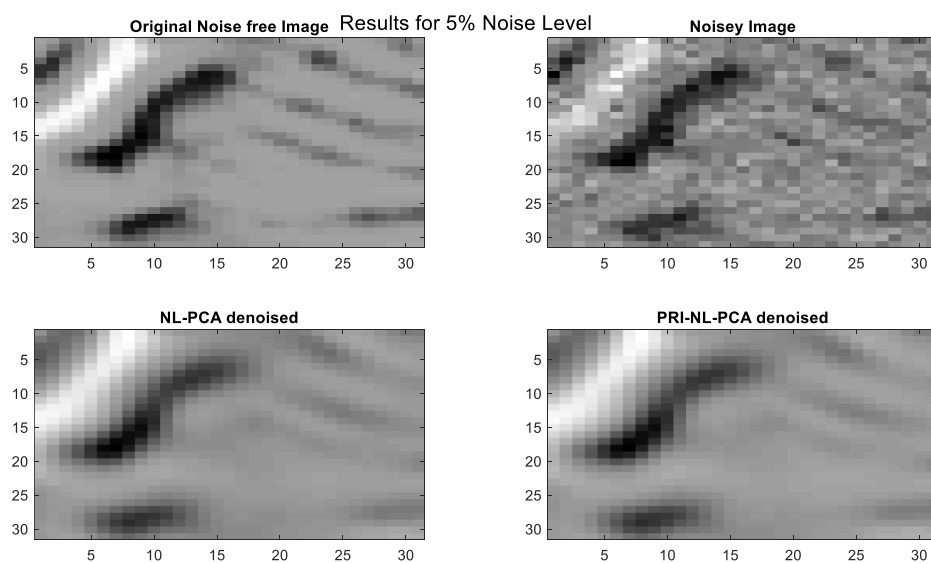
Table 10. PSNR and SSIM results of the compared methods for spatially varying noise.

Noise	Filter	Noise Level					
		1-3%	3-9%	5-15%	7-21%	9-27%	Average
Gauss.	Noisy	34.34 0.900	24.80 0.621	20.36 0.442	17.44 0.328	15.26 0.253	22.44 0.508
	ONL-PCA	41.60 0.987	35.94 0.959	33.23 0.928	31.41 0.897	30.07 0.867	34.45 0.928
	NL-PCA	41.66 0.987	35.95 0.958	33.17 0.925	31.31 0.891	29.92 0.857	34.40 0.924
	OPRI-NL-PCA	42.19 0.989	36.33 0.965	33.53 0.939	31.59 0.911	30.10 0.882	34.75 0.937
	PRI-NL-PCA	42.25 0.989	36.30 0.965	33.52 0.939	36.61 0.911	30.16 0.883	34.77 0.937
	ABM4D	40.45 0.980	35.48 0.960	33.10 0.930	31.48 0.900	30.24 0.870	34.15 0.928
	SANLM	40.38 0.980	34.50 0.940	31.57 0.890	29.61 0.830	28.11 0.780	32.83 0.884



3.2.3 ریزی ثابت





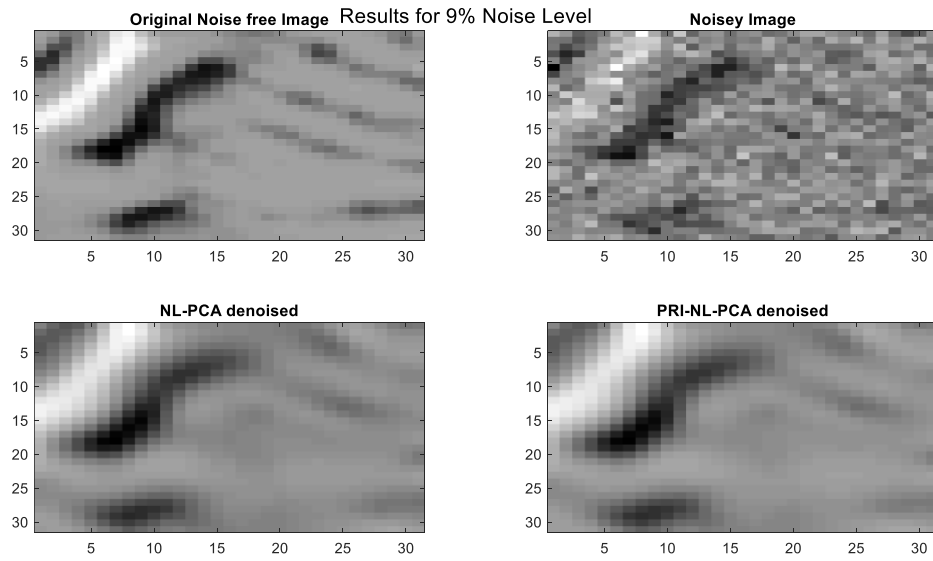
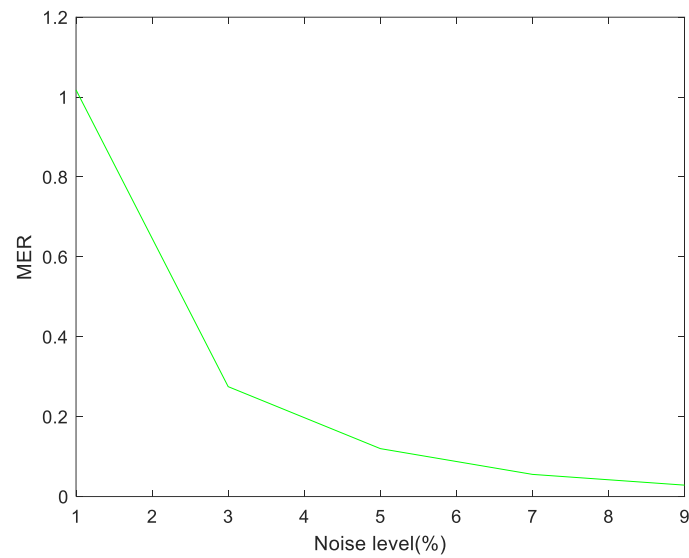
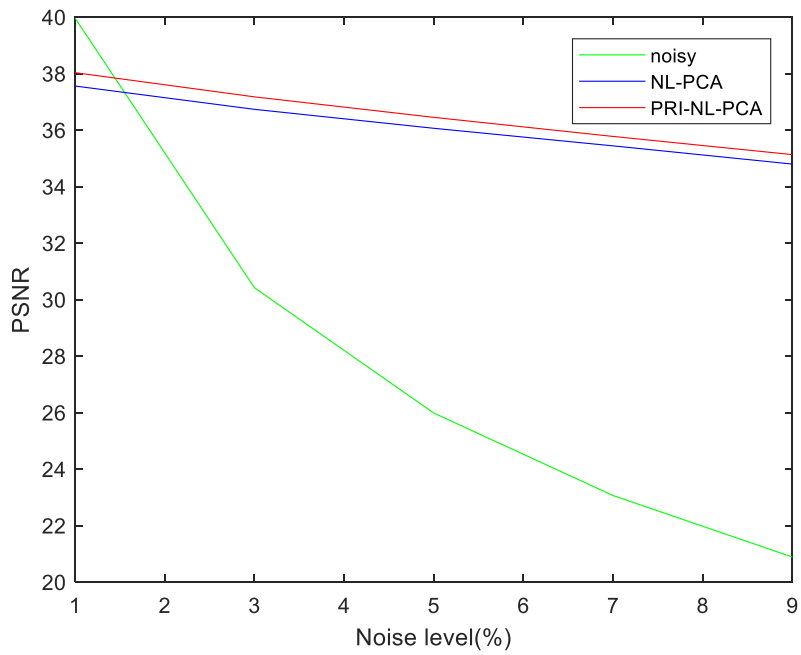
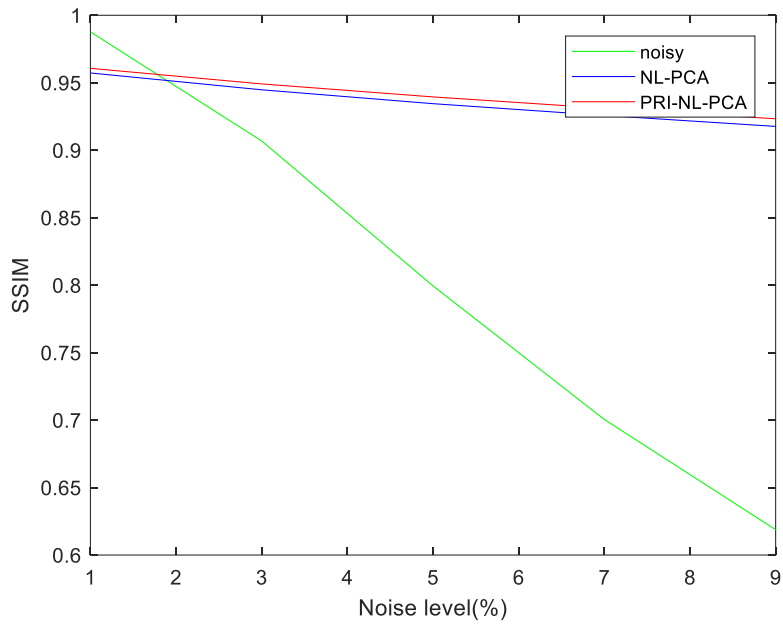


Table 7. Comparison of the two different noise estimation schemes for different levels of stationary Rician noise (ER).

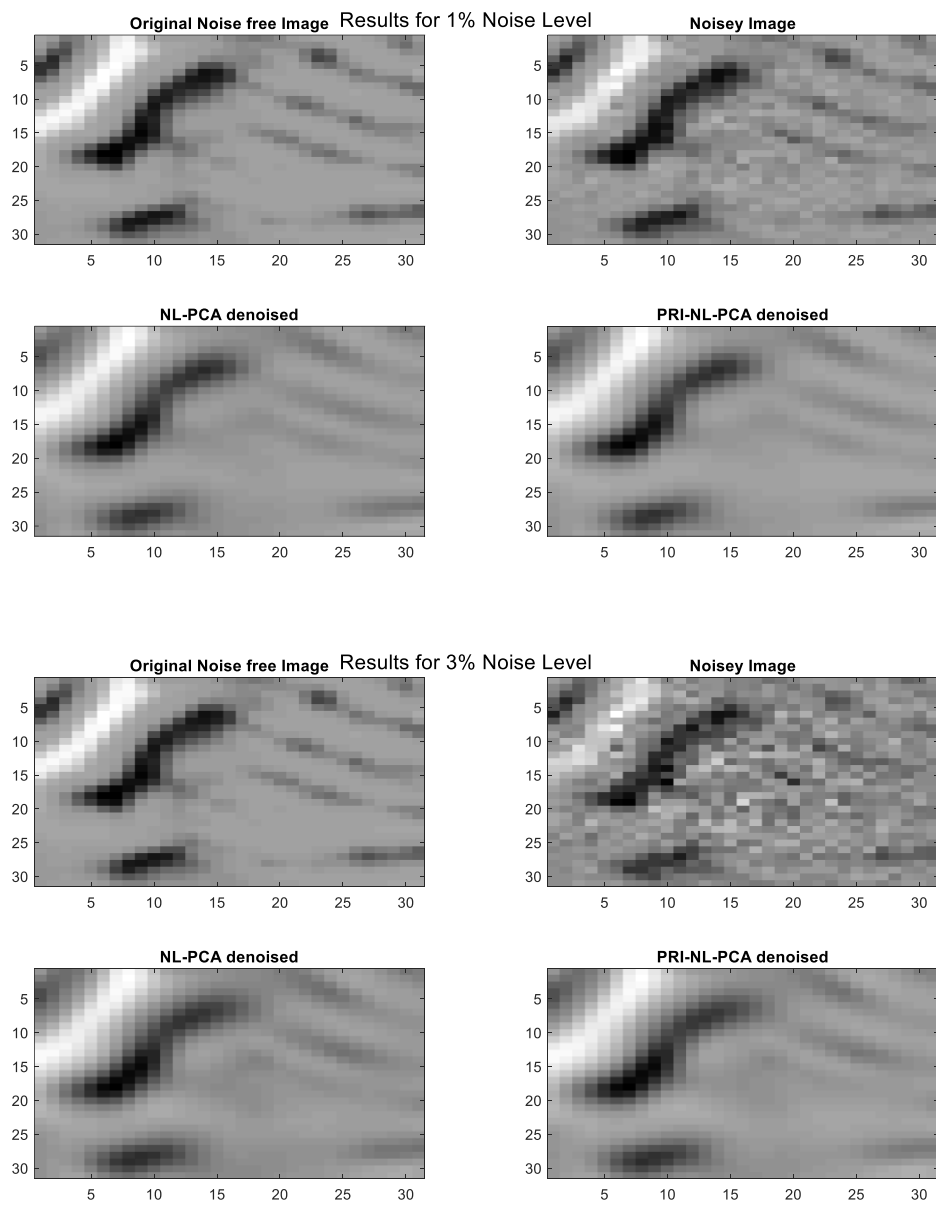
Method	Noise level					Mean
	1%	3%	5%	7%	9%	
Mapping residuals (Eq. 11)	0.1029	0.0661	0.0514	0.0432	0.0361	0.0599
ABM4D	0.4965	0.1860	0.1388	0.1315	0.1387	0.2183

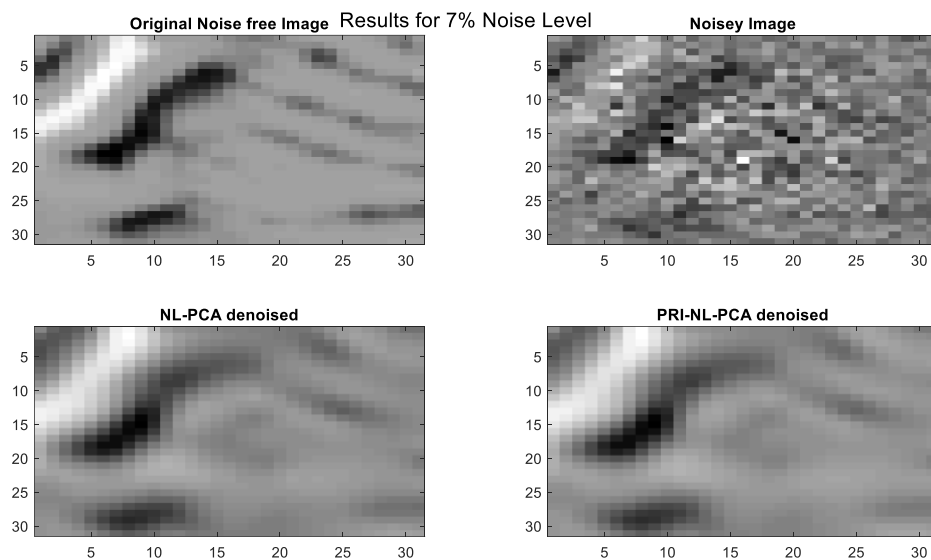
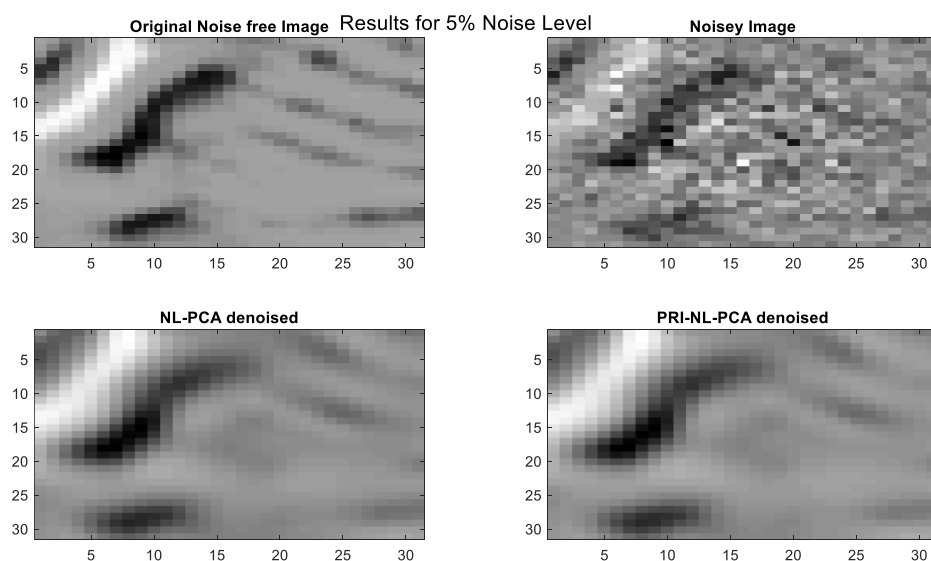


Rician	Noisy	40.00 0.970	30.49 0.815	26.09 0.656	23.20 0.529	21.04 0.431	28.16 0.680
	ODCT	42.96 0.991	37.38 0.970	34.70 0.949	32.90 0.927	31.53 0.905	35.89 0.948
	PRI-NLM	44.14 0.993	38.28 0.976	35.42 0.957	33.47 0.935	31.98 0.913	36.66 0.955
	ONL-PCA	44.80 0.993	38.89 0.978	36.31 0.963	34.53 0.957	33.11 0.925	37.53 0.962
	NL-PCA	44.79 0.994	38.90 0.978	36.23 0.962	34.37 0.943	32.88 0.923	37.43 0.960
	OPRI-NL-PCA	45.20 0.994	39.35 0.981	36.59 0.967	34.75 0.952	33.28 0.935	37.83 0.966
	PRI-NL-PCA	45.31 0.994	39.34 0.981	36.58 0.967	34.74 0.952	33.28 0.935	37.85 0.966
	BM4D	44.09 0.992	38.35 0.975	35.84 0.959	34.17 0.942	32.88 0.924	36.99 0.958



4.2.3 نویز Rician متغیر با مکان





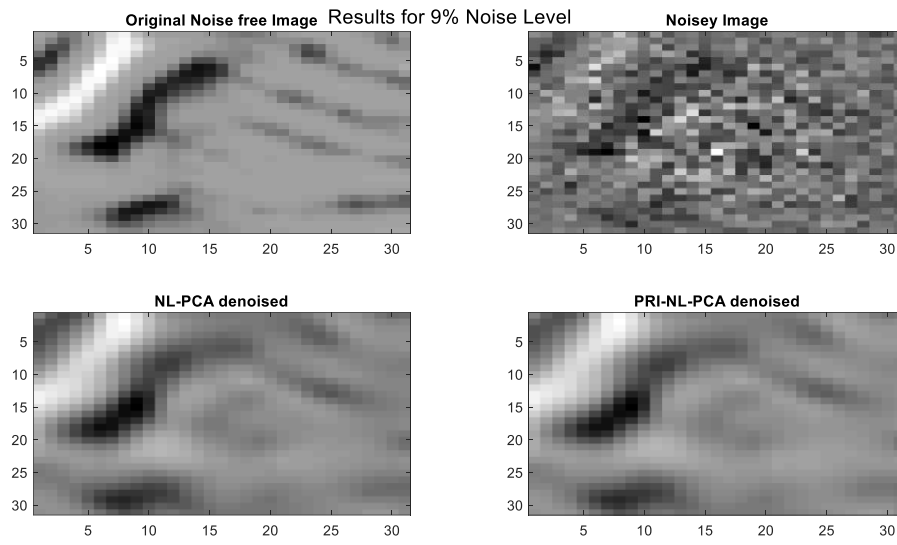
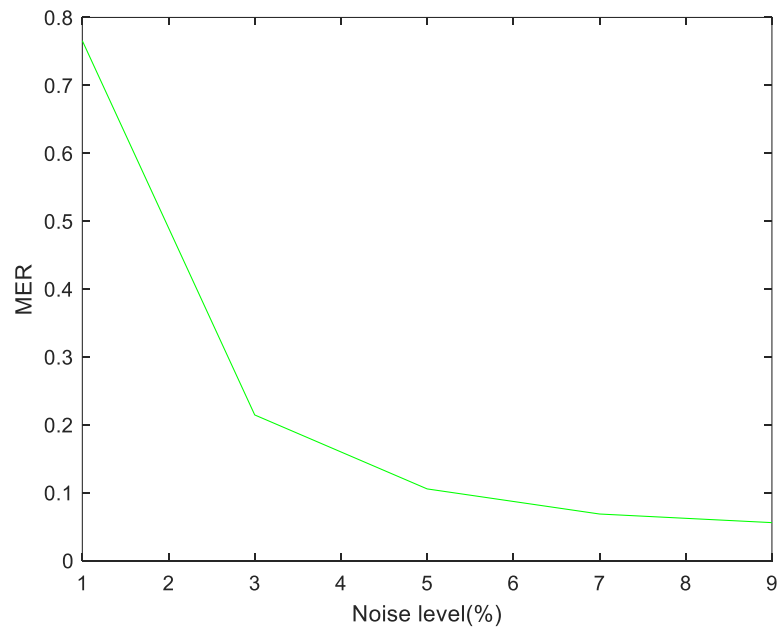
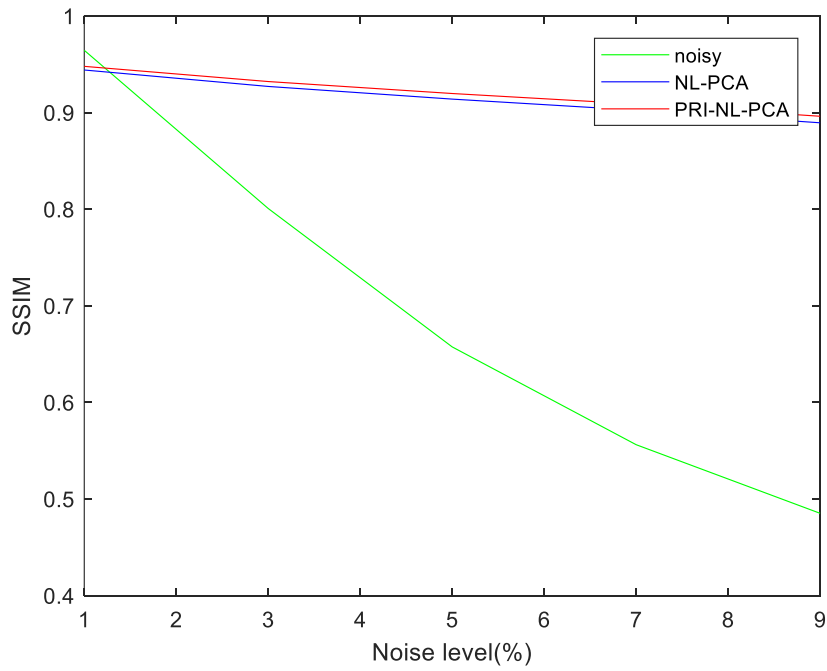
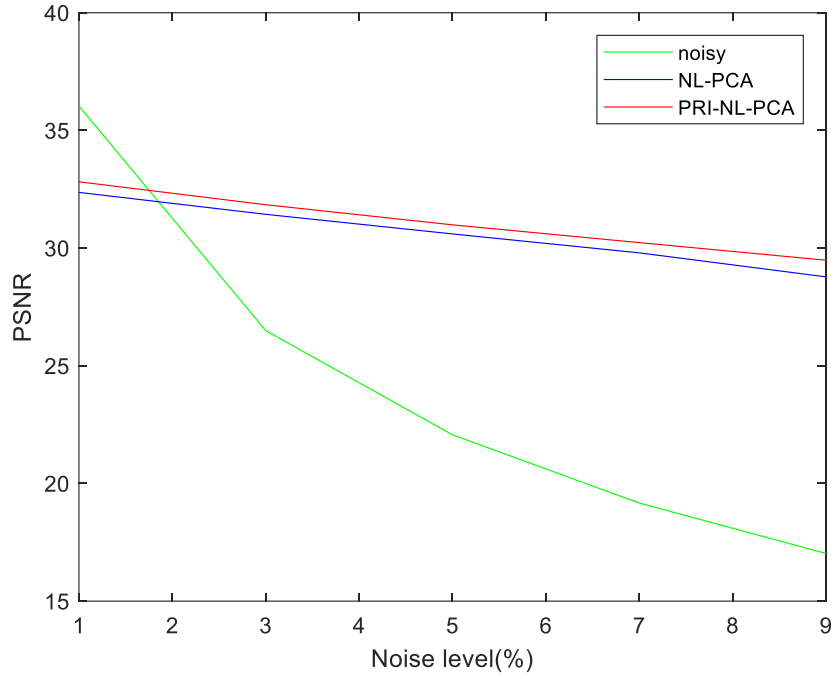


Table 8. Comparison of the two different noise estimation schemes for different levels of spatially varying Rician noise (MER).

Method	Noise level					Mean
	1-3%	3-9%	5-15%	7-21%	9-27%	
NL-PCA	0.0850	0.0517	0.0400	0.0356	0.0355	0.0496
ABM4D	0.3524	0.1781	0.1745	0.1868	0.2012	0.2186



Rician	Noisy	34.35 0.900	24.87 0.621	20.50 0.441	17.64 0.325	15.50 0.247	22.57 0.507
	ONL-PCA	41.59 0.987	35.87 0.958	32.99 0.925	30.93 0.890	29.28 0.854	34.13 0.923
	NL-PCA	41.64 0.987	35.77 0.956	32.74 0.917	30.48 0.873	28.42 0.824	33.81 0.911
	OPRI-NL-PCA	42.18 0.989	36.20 0.964	33.16 0.933	30.92 0.897	29.22 0.861	34.34 0.930
	PRI-NL-PCA	42.23 0.989	36.19 0.964	33.15 0.934	30.87 0.897	28.83 0.856	34.25 0.928
	ABM4D	40.43 0.980	34.41 0.940	31.27 0.890	28.80 0.820	26.55 0.740	32.29 0.874
	SANLM	40.28 0.980	34.29 0.940	31.16 0.870	28.73 0.810	26.43 0.740	31.18 0.868



مشاهده شد که الگوریتم پیاده‌سازی شده نسبت به الگوریتم اصلی در نویزهای با واریانس پایین عملکرد ضعیفتر اما در نویزهای بالاتر عملکرد نسبتاً برابر و در بعضی موارد (نویز 7 درصد) عملکرد بهتری نیز داشت.

- [1] Manjón, J.V., P. Coupé, and A. Buades, *MRI noise estimation and denoising using non-local PCA*. Medical image analysis, 2015. **22**(1): p. 35-47 % @ 1361-8415.
- [2] Zhang, L., et al., *Two-stage image denoising by principal component analysis with local pixel grouping*. Pattern recognition, 2010. **43**(4): p. 1531-1549 % @ 0031-3203.
- [3] Manjón, J.V., et al., *New methods for MRI denoising based on sparseness and self-similarity*. Medical image analysis, 2012. **16**(1): p. 18-27 % @ 1361-8415.
- [4] Manjón, J.V., et al., *Diffusion weighted image denoising using overcomplete local PCA*. PloS one, 2013. **8**(9): p. e73021 % @ 1932-6203.